

# Proyecto Utica (Túnez). Nuevos datos sobre la arquitectura monumental y doméstica en la excavación de 2018 en la ciudad fenicio-púnica

## Utica Project (Tunisia). New data on monumental and domestic architecture in the 2018 excavation in the Phoenician-Punic city

JOSÉ LUIS LÓPEZ CASTRO  
Universidad de Almería  
Centro de Estudios Fenicios y Púnicos  
jllopez@ual.es  
<https://orcid.org/0000-0002-8527-7898>

IMED BEN JERBANIA  
Institut National du Patrimoine  
4 Place du Château  
1008, Tunis  
ibenjerbania@yahoo.fr

ALFREDO MEDEROS MARTÍN  
Universidad Autónoma de Madrid  
Centro de Estudios Fenicios y Púnicos  
alfredo.mederos@uam.es  
<https://orcid.org/0000-0002-0036-7940>

AHMED FERJAOUI  
Institut National du Patrimoine  
4 Place du Château  
1008, Tunis  
ferjaouiahmed@yahoo.fr

AMPARO SÁNCHEZ MORENO  
Universidad de Almería  
Centro de Estudios Fenicios y Púnicos  
asmoreno@ual.es  
<https://orcid.org/0000-0001-6267-4615>

WALID KHALFALLI  
Institut National du Patrimoine  
4 Place du Château  
1008, Tunis  
demato06@yahoo.fr

FAOUZZI ABIDI  
Université de Tunis  
fawzibidi@hotmail.fr

SUSANA CARPINTERO LOZANO  
Universidad de Almería  
Centro de Estudios Fenicios y Púnicos  
scl130@ual.es  
<https://orcid.org/0000-0002-4246-1935>

EDUARDO FERRER ALBELDA  
Universidad de Sevilla  
Centro de Estudios Fenicios y Púnicos  
eferrer@us.es  
<https://orcid.org/0000-0001-8083-1565>

KAOUTHER JENDOUBI  
Institut National du Patrimoine  
4 Place du Château  
1008, Tunis  
kaoutherjendoubi123@gmail.com

VÍCTOR MARTÍNEZ HAHNMÜLLER  
Institut für Klassische Archäologie  
Universität Wien  
Centro de Estudios Fenicios y Púnicos  
victor.martinez.hahnmueller@univie.ac.at  
<https://orcid.org/0000-0002-8608-0974>

BARTOLOMÉ MORA SERRANO  
Universidad de Málaga  
Centro de Estudios Fenicios y Púnicos  
barmora@uma.es  
<https://orcid.org/0000-0002-0909-9225>

LAURA MOYA COBOS  
Universidad de Almería  
Centro de Estudios Fenicios y Púnicos  
lmc853@ual.es  
<https://orcid.org/0000-0002-8850-3563>

CARMEN ANA PARDO BARRIONUEVO  
Universidad de Almería  
Centro de Estudios Fenicios y Púnicos  
cpb868@ual.es  
<https://orcid.org/0000-0002-7562-5756>

VICTORIA PEÑA ROMO  
Doctorando. Universidad Complutense  
Centro de Estudios Fenicios y Púnicos  
divictoriatanit@yahoo.es  
<https://orcid.org/0000-0001-5084-0401>

LUIS ALBERTO RUIZ CABRERO  
Universidad Complutense  
Centro de Estudios Fenicios y Púnicos  
laruiz@ucm.es  
<https://orcid.org/0000-0001-6457-1898>

### CÓMO CITAR ESTE ARTÍCULO / HOW TO CITE THIS ARTICLE

López Castro, J.L., Ben Jerbania, I., Mederos Martín, A., Ferjaoui, A., Sánchez Moreno, A. Khalfalli, W., Abidi, F., Carpintero Lozano, S., Ferrer Albelda, E., Jendoubi, K., Martínez Hahn Müller, V., Mora Serrano, B., Moya Cobos, L., Pardo Barrionuevo, C.A., Peña Romo, V. y Ruiz Cabrero, L.A. (2024): "Proyecto Utica (Túnez). Nuevos datos sobre la arquitectura monumental y doméstica en la excavación de 2018 en la ciudad fenicio-púnica". *Cuadernos de Prehistoria y Arqueología de la Universidad Autónoma de Madrid*, 50(2): 161-188. <<https://doi.org/10.15366/cupauam2024.50.2.006>>.

## Resumen

Se presentan los principales resultados de la campaña de excavaciones de 2018 en la ciudad fenicia de Utica (Túnez) del proyecto conjunto hispano-tunecino entre el Institut National du Patrimoine y el Centro de Estudios Fenicios y Púnicos. La excavación del interior del edificio fenicio del siglo IX a. C. del corte 21 de la Zona II ha puesto en evidencia la existencia de una estructura de adobe que podría identificarse hipotéticamente como un posible altar taurodémico. El análisis de la planta del edificio permite establecer su similitud con en el tipo de templos cananeos y fenicio preclásicos. En la Zona I las excavaciones han recuperado elementos arquitectónicos como un fragmento de gola y un capitel corintizante figurado que podrían contribuir a la restitución de los órdenes de los templos A y B de los siglos VII y IV a. C. respectivamente, obteniendo además datos sobre el sistema de construcción del Templo B. Los trabajos de 2018 han completado la excavación de parte de una vivienda fenicio-púnica amortizada en el siglo II a. C. consistente en una habitación con un horno doméstico junto un patio pavimentado con *opus tesellatum* cuya cronología podría remontarse a fechas anteriores.

**Palabras clave:** Norte de África, fenicios, templos, altar taurodémico, arquitectura fenicio-púnica

## Abstract

The main results of the 2018 excavation campaign in the Phoenician city of Utica (Tunisia) of the joint Spanish-Tunisian project between the Institut National du Patrimoine and the Centre for Phoenician and Punic Studies are presented. The excavation of the interior of the 9<sup>th</sup> century BC Phoenician building in Square 21 of Zone II has revealed the existence of an adobe structure that could hypothetically be identified as a possible ox-hide shaped altar. The analysis of the plan of the building shows its similarity to the type of pre-classical Canaanite and Phoenician temples. In Zone I, the excavations have recovered architectural elements such as a fragment of a gola and a figured corinthising half-capitel that could contribute to the restitution of the orders of temples A and B from the 7<sup>th</sup> and 4<sup>th</sup> centuries BC respectively. The excavation also obtained data about the construction system of Temple B. The 2018 works have completed the excavation of part of a Phoenician-Punic house amortised in the 2<sup>nd</sup> century BC consisting of a room with a domestic oven next to a courtyard paved with *opus tesellatum* whose chronology could date back to earlier times.

**Key words:** North Africa, Phoenicians, temples, ox-hide shaped altar, Phoenician-Punic architecture

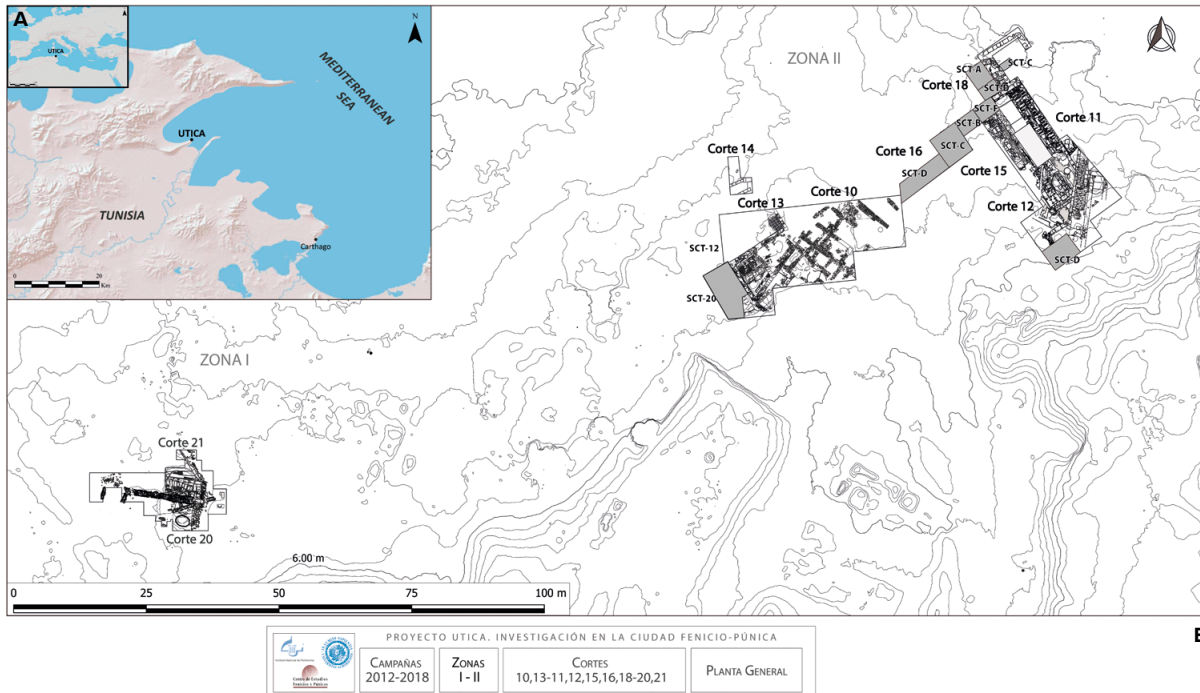
## 1. Introducción<sup>1</sup>

El proyecto de investigación en la ciudad fenicio-púnica de Utica (Túnez) (figura 1A) viene desarrollándose desde 2010 conjuntamente entre el Centro de Estudios Fenicios y Púnicos y el Institut National du Patrimoine de Túnez. Del desarrollo del proyecto, en el que se han efectuado ya diez campañas de excavación y dos de prospección geofísica entre 2010 y 2023, hemos ido publicando avances en sucesivos trabajos (López Castro *et alii*, 2012, 2014, 2015, 2016a, 2017, 2020a, 2021, 2023). Los resultados de las campañas

anteriores de excavación han sido muy relevantes. En la Zona I los cortes 10 y 13 exhumaron un área urbana formada por una *insula* romana del siglo I d. C., muy destruida, pero en cuyo interior se conservaban fases constructivas urbanas e industriales fenicio-púnicas de los siglos VIII a II a. C. (Ben Jerbania *et alii*, 2020). En los cortes 11, 12 y 15 se descubrieron los restos de dos templos fenicios superpuestos, de los siglos VII y IV a. C. (López Castro *et alii*, 2016b; Ferrer *et alii*, 2020; Ben Jerbania *et alii*, 2021). En los cortes 20 y 21 de la Zona II se descubrieron los restos de dos edificios fenicios que estuvieron en funcionamiento en los siglos IX-VIII a. C. Un pozo del siglo IX a. C. clausurado en esa época (López Castro *et alii*, 2016c, 2020b, 2020c) parece ser anterior a ambos edificios (figura 1B).

La financiación del trabajo de campo del proyecto ha sido aportada por el programa de excavaciones arqueológicas en el exterior del Ministerio Cultura y Deporte (campañas de 2010, 2012, 2014, 2015, 2016,

<sup>1</sup> Este trabajo es resultado del proyecto de investigación HAR2017-53350-P86334-R: *El sector Norte de Utica fenicio-púnica (Túnez): espacios sagrados, morfología urbana y puerto de comercio (siglos IX a. C.-I d. C.)* financiado por el Ministerio de Ciencia e Innovación. Es también resultado del grupo de investigación HUM-741 de la Universidad de Almería adscrito al Campus de Excelencia Internacional CEI-Mar y al Centro de Investigación CySoc.



**Figura 1.** A. Mapa de localización de Utica con reconstrucción de la línea de costa del Golfo de Túnez en el I milenio a. C. (a partir de Paskoff y Troussel, 1990; Delile *et alii*, 2015; Pleuger, *et alii*, 2019). B. Planta general de la excavación con las áreas excavadas en la campaña de 2018

**Figure 1.** A. Location map of Utica with reconstruction of the coastline of the Gulf of Tunis in the 1<sup>st</sup> millennium BC (after Paskoff and Troussel, 1990; Delile *et al.*, 2015; Pleuger, *et al.* 2019). B. General plan of the excavation with the areas excavated in the 2018 season

2019 y 2022), la Fundación Palarq (campañas de 2018, 2019 y 2022), así como por proyectos concedidos a la Universidad de Almería por diferentes organismos (campañas de 2013, 2017, 2018 y 2023). La campaña de 2018 fue la séptima en efectuarse entre el 8 de abril y el 13 de mayo de 2018 y en el presente artículo presentamos los resultados más relevantes obtenidos para la investigación.

Uno de los principales objetivos de la campaña era el de continuar la excavación en extensión del área urbana descubierta en el corte 10 de la Zona I, ampliando los sectores 13 y 20 para descubrir el *cardo* romano localizado en la campaña de 2014 (López Castro *et alii*, 2015) (figura 1B). Este objetivo está relacionado con la delimitación de la *insula* romana de época altoimperial, que se construyó con una orientación distinta al área urbana fenicio-púnica (Ben Jerbania *et alii*, 2020) y con la futura musealización del área urbana (figura 1B). Otro objetivo en este corte era el de completar la excavación de la vivienda fenicio-púnica del sector 12 descubierta en la campaña de 2017 (López Castro *et alii*, 2020a), a

fin de obtener una datación más precisa de su construcción y periodo de uso.

En el área más oriental de la Zona I se amplió el corte 18 con el propósito de verificar si se habían depositado elementos arquitectónicos decorativos como los descubiertos en la campaña de 2017, pertenecientes muy posiblemente a uno de los templos fenicio-púnicos (López Castro *et alii*, 2020a). También se ampliaron el corte 11 y el corte 15 en su área más occidental el sector B, con el objetivo de delimitar completamente el perímetro del Templo B (figura 1B). En la Zona II el objetivo era la continuación de la excavación del edificio de la fase inicial fenicia del siglo IX a. C. localizado en el corte 21 y determinar las posibles fases de uso, así como su funcionalidad. Otro objetivo era datar con mayor precisión el muro de sillares 21132 descubierta en la campaña de 2016 y que marcaba una fase constructiva posterior de carácter monumental (López Castro *et alii*, 2020a, 2021).

Finalmente, en la campaña de 2018 se ha efectuado un vuelo con dron para obtener datos cartográficos

con la que confeccionar un nuevo modelo digital del terreno (MDT) más preciso, que soportará de manera sistemática la realización de ortofotogrametría de las plantas finales e imágenes 3D de las estructuras arqueológicas (Marín-Buzón *et alii*, 2021), mediante la técnica SFM (*Structure from Motion*)<sup>2</sup>.

## 2. La excavación en la Zona II en el primer edificio fenicio del corte 21 y su interpretación

Los trabajos en este corte se dirigieron principalmente a la excavación del interior del primer edificio fenicio (figura 2), aunque inicialmente se efectuaron tres sondeos comprobatorios con el objetivo de precisar mejor la datación del muro perimetral norte 21089-21099 y su periodo de uso. También se excavó en el interior del pozo 21131 para datar el posible momento de su amortización con la construcción del muro mencionado que lo cegó. Otro sondeo se efectuó en el interior de la estructura de piedras 21137 que rellenaba el espacio entre el gran muro de sillares 21132 descubierto en la campaña de 2016 (López Castro *et alii*, 2021) y el recorte de la base geológica para su construcción con resultado infructuoso.

### 2.1. La excavación en el interior del edificio fenicio: un posible altar con forma de piel de toro y su contexto material

En la campaña de 2018 se acometió la excavación del interior del edificio fenicio más antiguo, del lado sur del muro 21088-21099 (figura 2), que había quedado interrumpida al finalizar la campaña de 2015, ya que en las campañas de 2016 y 2017 los trabajos se habían dirigido a la ampliación del corte 21 hacia el oeste. Así pues, en esta campaña se continuó

la excavación de la UE 21109, delimitada por el muro 21088-21099 y por el muro posterior 21083 en la mitad occidental de un sector triangular (figura 2).

La unidad estratigráfica citada estaba asociada a una estructura de adobes marrones grisáceos y amarillentos denominada estructura 21162, que se encontraba en mal estado de conservación. Dicha estructura presentaba una longitud de 0,79 m visibles, con 12 cm de grosor y forma arqueada desde las cotas 4,53 en su lado sur y 4,52 m en su lado norte (figura 3A). Como puede apreciarse tanto en las fotos del final de la campaña de 2015 como en la planta detallada de 2016 (López Castro *et alii*, 2016b: 265, fig. 3; López Castro *et alii*, 2021: 93, fig. 9), esta estructura de adobe continúa en el perfil norte debajo del muro 21085 y reaparece al otro lado en el perfil sur, a una cota similar de 4,51 m, presentando un grosor de 16 cm, que hace aún más marcada la forma curva del lado este de esta estructura, cuya longitud tendría al menos 1,22 m.

Sin embargo, el lado oeste de la estructura 21162 no presentaba claramente un muro de adobe con una forma curvada, quizás porque fue afectado por dos pequeñas estructuras de adobe, la primera rellena de una capa de piedras y completamente cubierto por una capa de corales y conchas marinas, que también apareció sobre la estructura. En su interior se identificó una capa de adobe amarillento con una distribución irregular por la superficie de la estructura, que contenía abundantes carbones y cubría una capa de tierra de coloración oscura (figura 3B y C).

Se trata de una estructura poco común que, a pesar de su conservación parcial, la hipótesis más viable que podemos proponer para interpretarla por el momento es que pudiera tratarse, por su morfología, de un posible altar, orientado a 359°, casi al norte. En efecto, aunque en mal estado de conservación, la estructura de adobe 21162 nos recuerda a los altares con forma de piel de toro conocidos en otros ámbitos coloniales fenicios y en el área tartésica de la península ibérica (López Castro *et alii*, e.p.) (figura 3B y C).

Las representaciones de altares de piel de toro más antiguas se documentan en cilindros sellos ugaríticos y chipriotas del II milenio a. C. (Gómez Peña, 2010: 136-138) y en esculturas

<sup>2</sup> El vuelo fue efectuado bajo la supervisión del doctor Francisco Manzano Agugliaro, catedrático de Expresión Gráfica de la Ingeniería de la Universidad de Almería y de los codirectores del proyecto, Imed Ben Jerbania y José Luis López Castro. Los trabajos de ortofotogrametría de campo y de gabinete fueron efectuados por los ingenieros y profesores de Expresión Gráfica de la Ingeniería de la Universidad de Sevilla, doctores Antonio Pérez Romero y Carmen Marín Buzón.



**Figura 2.** Planta final del corte 21, campaña de 2018 con indicación de fases constructivas

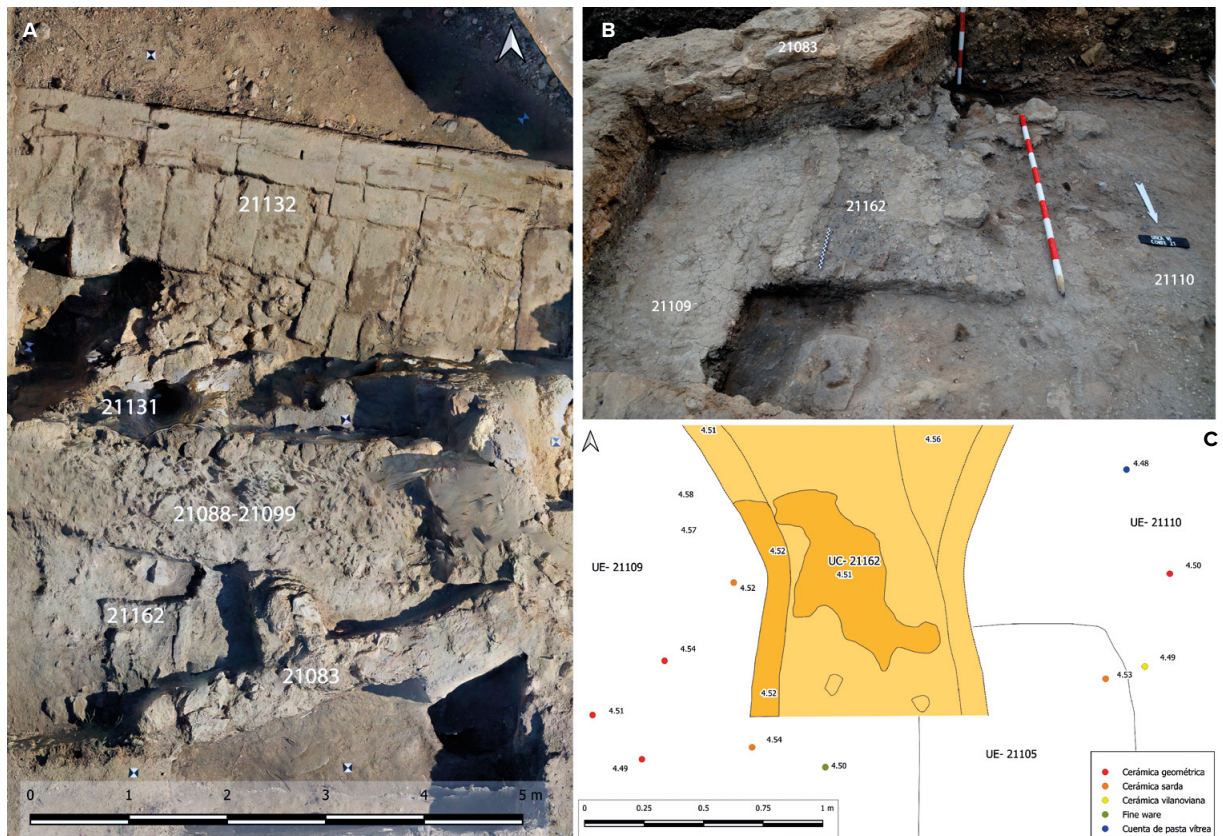
**Figure 2.** Final plan of square 21, 2018 season with indication of construction phases

chipriotas de bronce que representan una divinidad dispuesta sobre una piel de toro, en principio interpretadas como divinidades de la metalurgia sobre un lingote chipriota, probablemente Nergal-Reshef (Schaeffer, 1971: 506-510; Lagarce y Lagarce, 1997: 86, 95), aunque más posiblemente se trataría de un dios sobre su altar (Escacena, 2007: 628, fig. 11; Gómez Peña, 2010: 139).

Los altares taurodémicos se conocieron inicialmente en la península ibérica en santuarios de la región tartésica como el palacio-santuario de Cancho Roano (Celestino, 1994: 297-301, 299 fot. 5; Celestino 2001: 40, 41 fig. 16, 42, figs. 17-18) o el santuario de Coria del Río, la antigua *Caura* (Escacena, 2001: 87). En el ámbito colonial fenicio los altares taurodémicos están atestiguados en el asentamiento de La Rebanadilla (Málaga), donde se han publicado recientemente en detalle dos altares de este tipo. En el Edificio 4 se ha localizado el Templo 1, que alberga en un extremo de la estancia un altar de forma rectangular de 0,33 × 0,43 m y 11 cm de altura, sin restos de combustión, donde se supone que se depositarían

ofrendas, mientras que en la zona central de la habitación se disponía un pequeño hogar (Sánchez *et alii*, 2018: 309, 308 fig. 3; Sánchez, 2021: 66 fig. 11A, 67 fig. 12). Asimismo, en el Edificio 5 se sitúa el Templo 2, del que formaba parte un altar con lados ligeramente curvos, con unas dimensiones de 0,38 × 0,28 cm, situado prácticamente a ras de suelo, con su superficie quemada y ocupando una posición central en la estancia (Sánchez, 2021: 68-69, fig. 14). Ambos altares son estructuras pequeñas como el altar de Utica, con el que mantienen un gran paralelismo formal y, en particular el altar del Templo 2 de La Rebanadilla.

Algo más tardíos son los tres altares de diferentes formas de la fase IV de El Carambolo (Sevilla), la segunda más antigua del santuario. El más grande, el altar 2605, con forma claramente de piel de toro, se identificó en la habitación A-40 junto a un gran hogar. El altar está ligeramente excavado en el suelo y teñido de rojo, presentando grandes dimensiones: 3,05 × 1,42 m (Fernández Flores y Rodríguez Azogue, 2005: 123, 124 lám. 16; Fernández Flores y Rodríguez Azogue, 2007: 120). En la habitación A-29



**Figura 3.** A. Corte 21 Detalle de ortofoto del sector interior del primer edificio fenicio, con localización de la estructura 21162. B. Corte 21. Vista del posible altar 21162 en el área interior del primer edificio fenicio. C. Planta del posible altar 21162 con distribución de cerámicas del contexto arqueológico, unidades estratigráficas 21109 y 21110

**Figure 3.** A. Square 21 orthophoto detail of the interior sector of the first Phoenician building, with location of structure 21162. B. Square 21. View of possible altar 21162 in the interior area of the first Phoenician building. C. Plan of possible altar 21162 with distribution of ceramics from the archaeological context, stratigraphic units 21109 and 21110

hay un segundo altar con lados curvos (Fernández Flores y Rodríguez Azogue, 2005: 120, fig. 3) y un tercer templo en la habitación A-1, donde se sitúa el altar 2384 de forma rectangular (Fernández Flores y Rodríguez Azogue, 2005: 123, lám. 14), como el del templo 1 de La Rebanadilla. Los altares de las habitaciones A-1 y A-40 continuaron existiendo durante la fase III del santuario, aunque el de esta última estancia aumentó de tamaño hasta  $4 \times 1,90$  m (Fernández Flores y Rodríguez Azogue, 2005: 125, fig. 4; Fernández Flores y Rodríguez Azogue, 2007: 136-137).

Las excavaciones en la calle Císter 3 de Málaga, la antigua *Malaka* fenicia, identificaron dos de estas estructuras en un posible santuario del siglo VII a. C.: el altar A tenía forma rectangular, con los lados ligeramente curvos y se levantaba sobre un suelo rojo, con unas dimensiones de  $0,52 \times 0,31$  m y 15 cm de altura. Presentaba un color rojizo y fragmentos de

concha en su interior. En una segunda fase, el altar se desplazó ligeramente de posición presentando unas dimensiones algo mayores, de  $0,70 \times 0,45$  m y 29 cm de altura. Estaba igualmente recubierto por arcilla de color rojo y se le añadió un apéndice circular en un extremo (Arancibia y Escalante, 2006: 338, 339 lám. I, 340 lám. II, 341 fig. 3; Arancibia y Mora, 2018: 358 fig. 5, 359). Es interesante subrayar que el altar A presenta revoco al exterior, lo que también sucede en el lado bien conservado del posible altar de Utica.

La situación al interior del edificio fenicio, la similitud morfológica con los altares de La Rebanadilla y El Carambolo analizados y su cercanía cronológica a éstos, que expondremos a continuación, son los principales argumentos para proponer como hipótesis la identificación de la estructura 21162 con un posible altar taurodémico (figura 3), sin que se puedan descartar otras hipótesis dado el estado fragmentario de la estructura.

## 2.2. El contexto arqueológico del posible altar

Los materiales cerámicos de las unidades estratigráficas 21109 y 21110, junto a las cuales se disponía el posible altar 21162, definen su contexto arqueológico inmediato (figura 4). En la UE 21109 se documentaron dos fragmentos de ánforas «sardas», uno de borde a torno (figura 4: 21983-1) y otro del cuerpo, también torneado, con el arranque de una de las asas (figura 4: 21984-1). Asimismo, se distingue un fragmento de cuenco a mano líbico (figura 4: 210206-1) del mismo tipo que uno del periodo Númida I de Althiburos (Ramon y Maraoui, 2011: 388, 290432: 6.2.) y un fragmento de un pequeño cuenco carenado (figura 4: 210205-1) que por su forma y pasta cerámica nos remite, en principio, a producciones del sur de la península ibérica del Bajo Guadalquivir o Huelva (González de Canales *et alii*, 2004: lám. XXV: 27, 30, lám. XXVI: 20). Se registraron igualmente en esta unidad estratigráfica fragmentos amorfos de cerámicas fenicias y de cerámica geométrica griega.

En la UE 21110, por su parte, se recogieron hasta tres fragmentos de ánforas de tipo sardo, el primero con borde engrosado y ligeramente vuelto y hombro marcado (figura 4: 210246-1). El segundo tiene el borde recto y marca el arranque del hombro (figura 4: 210246-3). Ambos fragmentos presentan cuellos y hombro decorados con engobe rojo-marrón exterior. Un tercer fragmento corresponde a la unión del cuerpo con el hombro del ánfora, de donde arranca una de las asas, decorada con una impresión circular en su base (figura 4: 210247-1). El conjunto se completa con un fragmento de *askos* sardo nurágico a mano que conserva decoración de círculo impreso (figura 4: 210248-1).

Las cerámicas más numerosas son las producciones autóctonas libias a mano, consistentes en un bol profundo (figura 4: 210249-6) que, aunque más grueso, es similar a un fragmento del periodo Númida I de Althiburos (Ramon y Maraoui, 2011: 388, 290428: 1); un borde entrante de una olla (figura 4: 210249-21) del mismo tipo que las conocidas en la mencionada fase inicial de Althiburos (Ramon y Maraoui, 2011: 389, 290432: 11-1, 11-5 y 12). Indicaremos también dos bordes de plato a mano de los que el primero (figura 4: 210249-19) es liso y el segundo

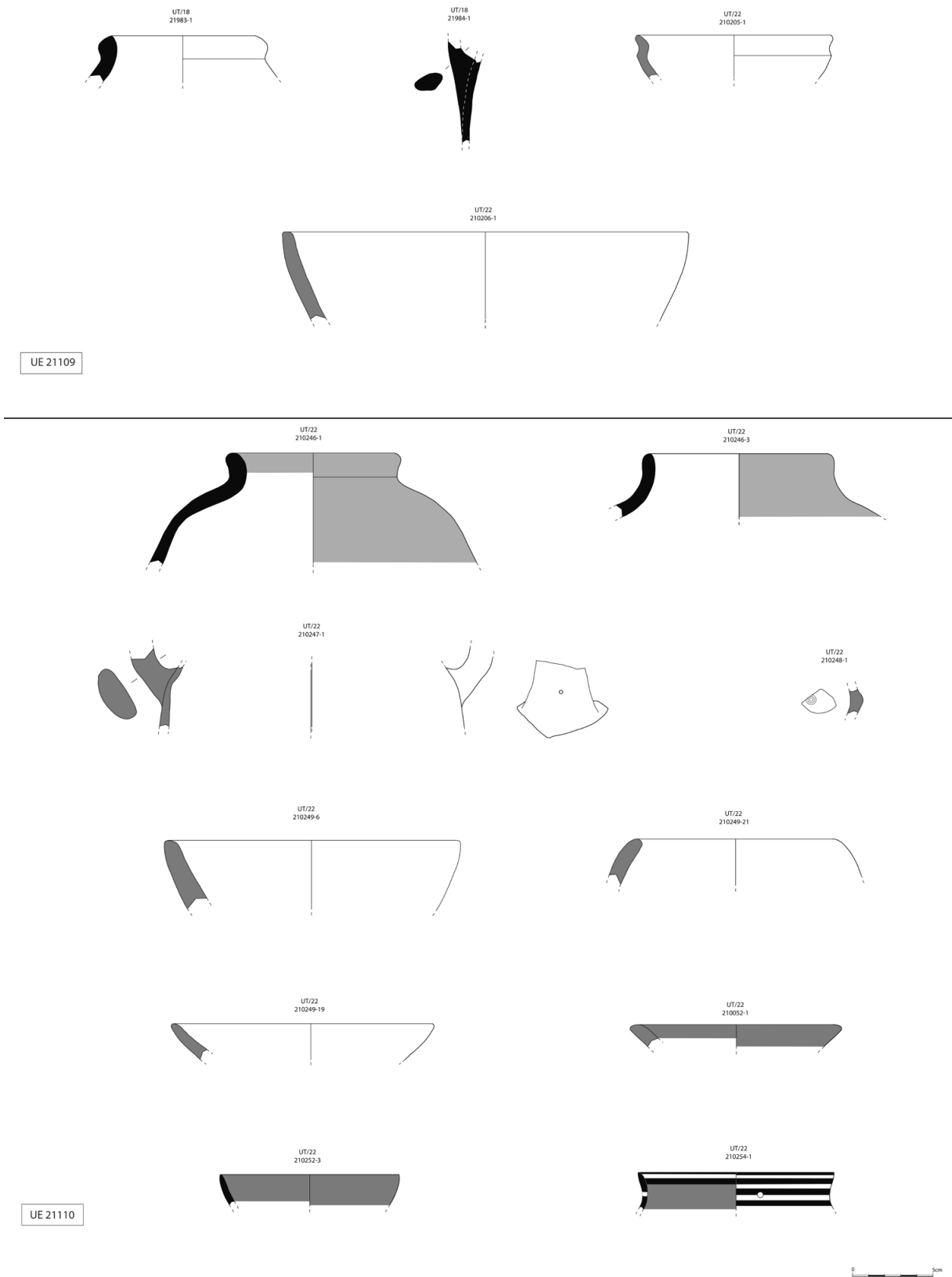
(figura 4: 210052-1) presenta engobe rojo en su interior; posiblemente ambos imitan el tipo 7 de los platos fenicios de Tiro (Bikai, 2003: pl. 1, 10-15), como se ha constatado ya en el contexto del pozo 20017 de Utica (López Castro *et alii*, 2020c: 62, fig. 11: 18).

Entre las cerámicas a torno destacan un fragmento de un plato fenicio con engobe rojo (figura 4: 210.252-3), posiblemente del tipo 10 de Tiro (Bikai 2003: pl. 1, 7-9) y un fragmento de *skyphos* griego geométrico monocromo (figura 4: 210.254-1) decorado con bandas en el borde alternando con bandas en reserva al exterior y en el interior, al inicio del borde, donde continúa la pintura. Este tipo de decoración se presenta en *skiphoi* monocromos y decorados desde el Geométrico Medio II (Verdan *et alii*, 2008: 75).

## 2.3. La cronología absoluta del primer edificio fenicio

Aunque la parte interior del edificio que aún se conserva junto al muro 21088-21099 no ha sido todavía excavada completamente, el estrato 21100, situado sobre dicho muro al interior del edificio y bajo el muro 21085, suministra una datación absoluta sobre concha que marcaría un *terminus ante quem* para su construcción: Beta-455.029, 2989±58 BP, 915-735 AC (tabla 1). Como ya indicábamos, al exterior del muro 21088 hacia el norte, la fosa de expolio 21081 no alcanzó una serie de estratos depositados al exterior de ese muro y apoyados en el mismo: se trata de las unidades estratigráficas sucesivas 21111, 21115 y 21117, con escaso material cerámico por su parcial conservación, pero que permitieron obtener dataciones absolutas.

La UE 21117, la más profunda, a 3,93 m s.n.m., ofrece la datación sobre semilla Beta-490.784 2770±30 BP, 996 (904) 832 AC. La UE 21115, a 4,12 m s.n.m., en una posición intermedia, se obtuvo la datación también sobre semilla, Beta-490.734 2710±30 BP, 910 (832) 807 AC. Finalmente, la UE 21111, a 4,47 m s.n.m., en el nivel más reciente depositado al exterior del edificio, arroja la datación igualmente sobre semilla 2700±30 BP, 904 (830) 806 AC. En consecuencia, las dataciones absolutas disponibles nos permiten establecer el funcionamiento del edificio, antes de su abandono, al menos entre 996-832 y el 906-806 AC.



**Figura 4.** Contexto arqueológico del posible altar 21162: materiales cerámicos de las unidades estratigráficas 21109 y 2110

**Figure 4.** Archaeological context of possible altar 21162: ceramic materials from stratigraphic units 21109 and 2110

Yacimiento	Nº laboratorio	Muestra	Fecha <sup>14</sup> C BP	Cal AC (68,3 %)	Cal AC (95,4 %)
Utica pozo 20017	CNA-2400	Semilla	2765±35	971-836	1002-828
Utica pozo 20017	CNA-2402	Semilla	2790±35	999-903	1042-833
Utica pozo 20017	CNA-2403	Semilla	2795±35	998-906	1045-834
Utica corte 21 UE 21111	Beta-490.782	Semilla	2700±30	897-810	906-806
Utica corte 21 UE 21115	Beta-490.783	Semilla	2710±30	898-816	910-809
Utica corte 21 UE 21117	Beta 490.784	Semilla	2770±30	973-840	997-839
Útica corte 21 UE 21100	Beta-455.029	Concha	2989±58	850-770	915-735
Huelva C/ Méndez Núñez	GrN-29511	Hueso	2745±25	911-834	969-819
Huelva C/ Méndez Núñez	GrN-29512	Hueso	2775±25	977-846	1001-836
Huelva C/ Méndez Núñez	GrN-29513	Hueso	2740±25	906-834	931-816
Huelva C/ Méndez Núñez	GrN-29514	Hueso	2753±14	914-840	926-834
Huelva C/ Méndez Núñez	AD/J 10.397	Marfil	2804±25	991-921	1044-859
Huelva C/ Méndez Núñez	AD/J 36A/11	Marfil	2791±25	983-906	1011-841
Huelva C/ Méndez Núñez	B-406165	Semilla	2800±30	996-913	1044-841
Huelva C/ Méndez Núñez	B-295783	Semilla	2640±30	820-792	895-777
Huelva C/ Méndez Núñez	CNA-3773	Semilla	2795±30	991-907	1043-837
La Rebanadilla IV	B-264170	Carbón	2780±40	987-844	1042-836
La Rebanadilla IV	B-264171	Carbón	2810±40	1011-910	1107-835
La Rebanadilla IV	MAMS-23744	Marfil	2793±38	1003-903	1046-833
La Rebanadilla I	B-264172	Carbón	2610±40	811-775	896-574
La Rebanadilla I	B-264173	Carbón	2700±40	896-810	922-800
Cortijo San Isidro	B-264174	Carbón	2660±60	896-790	982-595
El Carambolo V	Ua-24401	Carbón	2770 ± 50	982-834	1045-812

**Tabla 1.** Dataciones <sup>14</sup>C calibradas de yacimientos fenicios del horizonte colonial temprano. Dataciones de Fernández Flores y Rodríguez Azogue (2007), Nijboer y van der Plicht (2006), Sánchez *et alii* (2012), López Castro *et alii* (2016c, 2020b). Calibración con OxCal v.4.4.4, IntCal20 (Reimer *et alii*, 2020) y Marine20

**Table 1.** Calibrated <sup>14</sup>C dating of Phoenician sites from the early colonial horizon. Datings from Fernández Flores and Rodríguez Azogue (2007), Nijboer and van der Plicht (2006), Sánchez *et al.* (2012), López Castro *et al.* (2016c, 2020b). Calibration with OxCal v.4.4.4, IntCal20 (Reimer *et al.*, 2020) and Marine20

Si observamos las dataciones absolutas de la serie de asentamientos fenicios tempranos (tabla 1) podemos constatar que el edificio fenicio de Utica es posterior a las dataciones que fechan el conjunto del pozo 20017 de Utica, así como a las fechas de La Rebanadilla IV, aunque seguramente bastante cercanas en términos relativos a la datación del Templo I de La Rebanadilla, del que no tenemos dataciones absolutas, perteneciente a la fase III del yacimiento, pero construido inmediatamente después del final de la fase IV (Sánchez *et alii*, 2020: 195) que es contemporánea al pozo 20017 de Utica. Asimismo, en términos relativos, la datación del edificio se acerca a los altares de la fase IV de El Carambolo, posterior a la fase más antigua, El Carambolo V, que se construyó con posterioridad a 1045-812 cal AC, una fecha paralela a la fase del pozo 20017 de Utica según las dataciones absolutas.

#### 2.4. Análisis de la planta del primer edificio fenicio

El edificio fenicio del corte 21 tiene una orientación general aproximadamente este-oeste y sólo ha conservado las hiladas más profundas de los muros de fundación perimetrales norte 21088-21099 y oeste 21153, perpendicular al anterior. La conexión entre ambos muros quedó interrumpida muy probablemente por el crecimiento de una gran palmera de 3 m de diámetro que ha desarticulado las piedras del muro con las raíces y que seguramente ha alterado también el muro perimetral oeste 21153 (figura 2). Asimismo, se conserva parcialmente un muro interno 21133 también perpendicular al muro perimetral norte, que define una compartimentación interior, la cual dividía el interior del edificio en dos espacios

de diferente tamaño. El muro perimetral más largo 21088-21099 se interrumpe junto a este muro 21133 para dar lugar a un vano de 0,95 m de anchura que daba entrada al compartimento más grande. Este tendría un espacio interior de 12,45 × 6,82 m y el más pequeño sería de 3,50 × 6,82 m (figura 2).

La técnica constructiva empleada en la erección del edificio fue la mampostería de piedras pequeñas trabadas que descansaba sobre una arcilla muy dura, la UE 21125, que se empleó como capa de regularización del terreno en la que se insertaba el muro en su parte central. En la parte más oriental del muro, para salvar un desnivel en la base geológica arcillosa, se conserva un alzado máximo al exterior de 0,85 m.

Desconocemos si el alzado de los muros se efectuó con esta técnica de mampostería o si, como es probable, continuaba con adobes sobre el muro de fundación. También desconocemos la mitad longitudinal meridional del edificio, debido al intenso expolio al que se ha sometido la zona históricamente. Sin embargo, sabemos que aunque el muro más oriental que cerraría el edificio en su lado este no se ha conservado, debió situarse con toda seguridad al término del muro 21088-21099. Su espacio fue ocupado por la estructura 20012, que forma parte de un complejo constructivo de época fenicio-púnica posterior, definido por el gran muro de sillares 21123. No es probable que el muro 21088-21099 continuase hacia al este, pues no hay ningún indicio de ello. Por el contrario, en ese punto se encuentra el horno 21011 y una estratificación asociada a la fase constructiva siguiente, también fenicia, aunque más reciente, dispuestos directamente sobre la base geológica (figura 2)

Las dimensiones conservadas del edificio, suponiendo la continuidad del muro perimetral norte 21088-21099, nos dan 17,50 m de longitud, sin contar la anchura del desaparecido muro perimetral más oriental que, si fuera la misma que la del muro perimetral norte en su extremo este conservado, de 1 m, sumaría una longitud hipotética de 18,50 m. Sin embargo, no podemos saber la anchura real del edificio. Tentativamente podríamos aplicar una proporción 2:1 de la longitud respecto de la anchura, con lo que esta dimensión resultaría ser de 9,25 m. Ello no significa que esas fueran las medidas precisas del edificio, sino que esta proyección nos

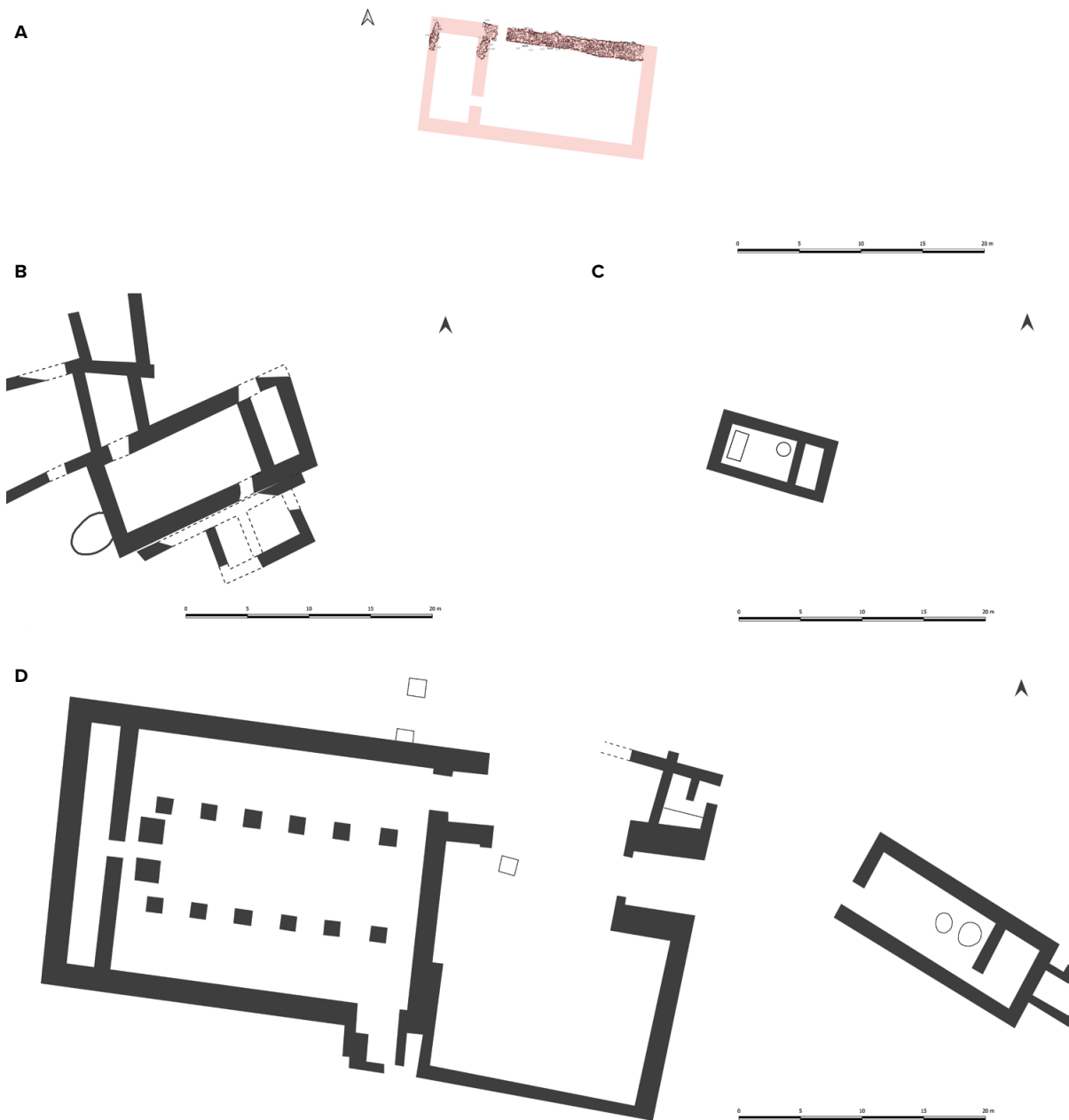
permite obtener una planta hipotética para efectuar comparaciones con otros edificios de similares características. En total, el espacio ocupado por el edificio es de unos 171 m<sup>2</sup> y la superficie interior sería de 114 m<sup>2</sup> repartida entre los dos espacios interiores (figura 5A).

La comparación de la planta del edificio uticense con otras plantas contemporáneas o cronológicamente próximas de edificios fenicios de Occidente nos remite por sus dimensiones y distribución de las estancias a una arquitectura no doméstica. Por mencionar dos ejemplos, las casas conocidas en La Rebanadilla tienen unas medidas inferiores, de 31-32 m<sup>2</sup> en los edificios 3 y 5 o 112 m<sup>2</sup> en el edificio 7 (Sánchez *et alii*, 2012: 79-80). Igualmente, las viviendas de *Gadir* de finales del siglo IX o comienzos del VIII a. C. localizadas en el Teatro Cómico son de dimensiones no demasiado grandes, como los 78 m<sup>2</sup> de la unidad doméstica 5 (Gener *et alii*, 2014: 33, fig. 5).

Sólo resultan comparables las dimensiones de edificios identificados como templos: es el caso del templo correspondiente a la fase más antigua de El Carambolo, la fase V, que ocupa unos 189 m<sup>2</sup> (Fernández *et alii*, 2020: 202), superficie que se aproxima más a la del edificio uticense.

En la isla de Motya, las fases iniciales del templo del Capidazzu o del templo de Baal del área del falso *kothon*, ambos de finales del siglo IX o inicios del VIII a. C., presentan respectivamente superficies de *c.* 200 m<sup>2</sup> y 192 m<sup>2</sup> (Nigro, 2005: planta IV, 2009, 2010). Estos edificios, sin embargo, aunque tienen una superficie extensa, no concuerdan con el modelo del trazado de la planta del edificio uticense. Sólo el *sacellum* C14 de Motya, adscrito a la fase Motya IV A, datada en 800-750 a. C., se aproxima más por su planta rectangular alargada, con proporción de 2:1 entre longitud y anchura, aunque resulta de menor tamaño, aproximadamente la mitad, con una superficie de unos 40 m<sup>2</sup> (Nigro, 2018: 256, fig. 3).

Es en el Levante mediterráneo donde encontramos plantas de edificios similares, también identificados como templos. En primer lugar, mencionaremos el templo del Área IV de Tell Kazel (Siria), en cuyo nivel 5 fechado en un momento inicial de la Edad del Hierro, Hierro IA, estuvo en uso y se destruyó un templo con una planta muy parecida



**Figura 5.** Planta hipotética restituida del primer edificio fenicio de Utica (A) y comparación a escala con las plantas de los templos de Tell Kazel (B) (a partir de Badre, 2006), Tell Sukas (C) (a partir de Edrey, 2018) y Kitióon (D) (a partir de Karageorghis, 1976)

**Figure 5.** Hypothetical restored floor plan of the first Phoenician building at Utica (A) and scale comparison with the floor plans of the temples of Tell Kazel (B) (from Badre, 2006), Tell Sukas (C) (from Edrey, 2018) and Kythion (D) (from Karageorghis, 1976)

a la del edificio de Utica. Con unas dimensiones de  $16,5 \times 7,5$  m, con la anchura algo inferior a la mitad de la longitud y una superficie total de  $123,75 \text{ m}^2$ , presenta una división interior en dos espacios. El más extenso, de  $72 \text{ m}^2$  de superficie interior, es considerado una *cella*, desde donde se accedería a la segunda estancia situada en el extremo este del edificio, con una superficie interior de  $19 \text{ m}^2$ , que ha sido interpretada como almacén (figura 5B). La técnica de

construcción utilizó anchos zócalos de piedra más gruesa en los lados de los muros, para rellenar su interior con piedras más pequeñas, alcanzando  $1,35$  m de anchura. En las esquinas se disponían bloques regulares para reforzarlas y el alzado del templo se efectuó con adobes (Badre y Gubel, 1999-2000: 170, fig. 30; Badre, 2006: 77, fig. 15).

El mismo concepto de espacio bipartito con una estancia principal y otra más reducida en tamaño,

con entrada lateral en recodo, lo observamos en el templo de Astarté en Kitión (Chipre), que fue mantenido en sus fases sucesivas, si bien con una proporción diferente en sus dimensiones, más tendientes a la monumentalidad (Karageorghis, 1976: fig. 16, 18, 19). El pequeño templo próximo al anterior, denominado Templo 4 en el nivel 2 A, tiene unas dimensiones 18 × 7,5 m, algo menores que la proporción 2:1, con una superficie total de 135 m<sup>2</sup>. El templo, que estuvo en uso la mayor parte de la Edad del Hierro, está dividido en dos compartimentos interiores, de los que el primero es de mayor tamaño, al que se accede lateralmente, si bien por el lado septentrional menor (Karageorghis, 1976: 118-119, fig. 19). La orientación de ambos templos es noroeste-sureste y el templo 4 es el que más se asemeja en tamaño y proporciones al edificio de Utica (figura 5D).

En el área de Kition-Bamboula se ha documentado otro templo en la fase constructiva IIa, de características similares a los anteriores y fechado en el periodo Chipro-Geométrico III. El templo tiene unas dimensiones alargadas, de 10 × 4 m, algo inferior a la relación 2:1, y estaría dividido en dos compartimentos desiguales, con acceso frontal según la propuesta de reconstrucción (Caubet *et alii*, 2015: 37-39, planta III, figs. 4 y 7).

Un ejemplo más tardío, que continuaría la tipología de templos analizada, datado en el siglo VI a. C., es el templo de Tell Sukas del estrato G2, con unas dimensiones de 9,9 × 4,95 m (Riis, 1970: 62-63, fig. 20, 34) y con dos compartimentos en su interior, según la propuesta de Edrey (2018: fig. 3) a partir de su interpretación de los datos publicados, en lugar de los tres compartimentos restituidos en la planta de Riis (figura 5C).

Las similitudes entre el edificio fenicio del corte 21 de Utica con los templos analizados son claras en la mayor parte de sus rasgos formales: en la orientación este-oeste de la planta rectangular, con la probable proporción aproximada de 2:1 en las dimensiones de longitud y anchura, así como en la distribución del espacio interior del edificio y en la disposición lateral del acceso al mismo mediante un estrecho vano, en una suerte de entrada en recodo. Estas características responden a la tipología de

edificio sagrado de origen cananeo que algunos autores denominan modelo de templo fenicio preclásico, anterior al siglo IV a. C. (Edrey, 2018: 199). La entrada lateral en estos templos implicaría un giro de 90° al atravesar el umbral y tendría como objeto establecer un pasaje liminal entre el mundo exterior y el mundo interior sagrado del templo, simbolizando una entrada ceremonial, sobre todo si los templos se situaban en un área urbana rodeada de actividades domésticas (Edrey, 2018: 198-199).

Las características tipológicas del edificio fenicio de Utica sustentan una posible interpretación de su funcionalidad como un templo fenicio de tradición cananea, aun cuando su estado de preservación no es bueno debido al expolio y a que la mitad del edificio haya desaparecido. Esta hipótesis de interpretación se ve reforzada con el hallazgo en el espacio interior del templo de los restos de una estructura de adobe que también hipotéticamente podría ser un posible altar con forma de piel de buey, del mismo tipo que los altares de los templos fenicios contemporáneos de La Rebanadilla o El Carambolo anteriormente analizados.

### 3. Resultados de la excavación en el área occidental de la Zona I. El área urbana del corte 10

En la Zona I, el área más extensa excavada en el yacimiento es el corte 10, que se sitúa al oeste de la misma. Con forma aproximadamente rectangular ha alcanzado una extensión de unos 600 m<sup>2</sup> tras la campaña de 2018. En el corte 10 se han distinguido hasta el momento un total de 22 sectores delimitados por muros, de los se han excavado total o parcialmente hasta 2017 los sectores 2, 4, 12, 13, 14, 21 y 22 (figura 6). En 2018 los trabajos se centraron en la finalización de la excavación del sector 12, en la continuación de la excavación del sector 13 y en la apertura del sector 20 con el objetivo de dejar visible el *cardo* romano que delimita el área excavada por el oeste (figuras 2 y 6), con vistas a una ulterior musealización que haga posible la interpretación de la zona excavada y su comprensión por los visitantes.

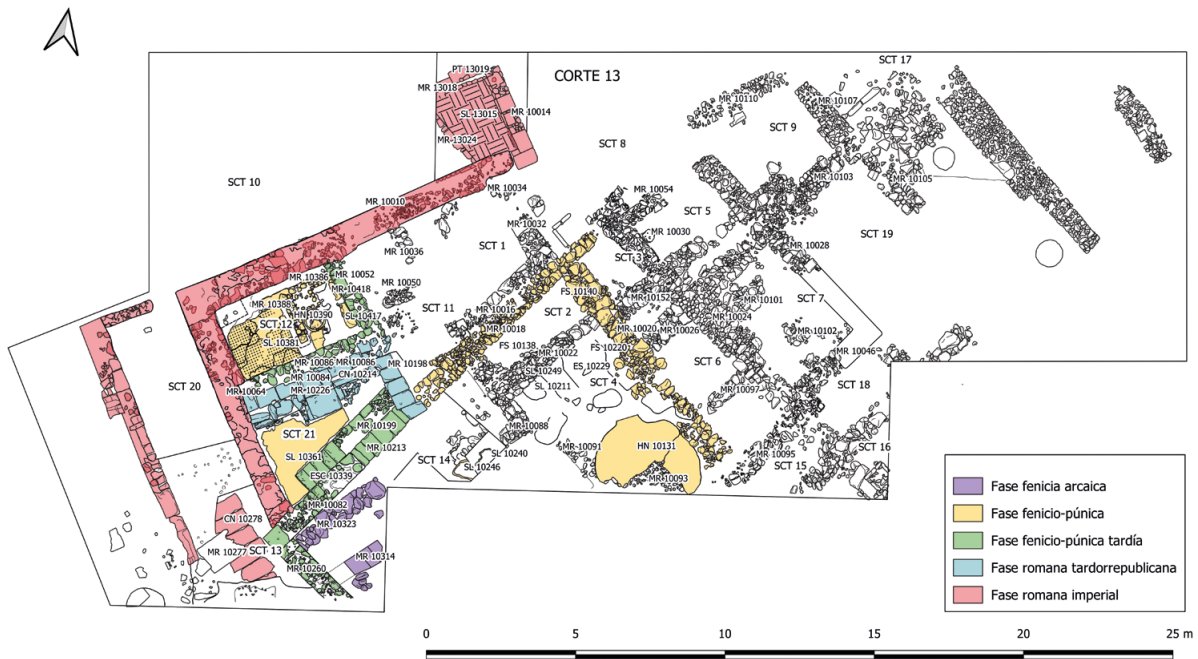


Figura 6. Corte 10. Planta final de la campaña de 2018

Figure 6. Square 10. Final plan of the 2018 season

### 3.1. Un espacio doméstico fenicio-púnico en el sector 12

El sector 12 se ubica en la parte noroccidental del corte 10 y ocupa una superficie total de 11 m<sup>2</sup>. Durante la campaña de 2017, bajo varios estratos de relleno, se descubrió un hogar u horno doméstico 10390, para la preparación de alimentos, perteneciente a una vivienda fenicio-púnica que se abría a un patio con un pavimento de mortero y teselas de mármol del tipo *pavimenta punica*, denominado pavimento 10381. En la campaña de 2018 se ha procedido a excavar el perfil estratigráfico noreste, paralelo al muro 10052, correspondiente al testigo que se dejó en la anterior campaña para documentar la estratigrafía, hasta hacer visibles completamente los muros que delimitan la parte conservada de vivienda (figura 7). Tras excavar las unidades estratigráficas del testigo (10374 a 10378) se pudo completar la planta de la estancia con los muros 10386 y 10418, descubriéndose en la esquina oriental un pavimento de cal (10417) bastante grueso, que venía a coincidir con la parte estucada del muro 10052 (figura 7), asociado al muro de *opus africanum* 10125, lo que hace posible ponerlo en relación con una fase constructiva posterior al uso de la

estancia del horno 10390 y el patio anexo pavimentado de *opus tesellatum*. El pavimento 10417 cubre el muro 10418, que forma parte de la estancia del horno, al igual que el muro 10052, que se cimentó apoyándose parcialmente en el muro 10418 (figura 7).

Los materiales arqueológicos recuperados en la excavación del testigo confirman la datación ofrecida en la campaña de 2017 para la amortización del espacio, fechándose el relleno a finales del siglo II a. C. (López Castro *et alii*, 2020a: 317-318, fig. 13), por lo que la vivienda con el horno doméstico y el posible patio podrían remontarse a siglos anteriores, teniendo en cuenta los paralelos conocidos para este tipo de pavimentos: en el *quartier Magon* de Cartago desde el siglo V a. C. en adelante (Rakob, 1999: 22 y n. 32) y en Kerkuan desde el IV a. C. (Fantar, 1984: 504-505, pl. L), así como en el Templo B de Utica de mediados o la segunda mitad del siglo IV a. C. (Ben Jerbania *et alii*, 2021). Un pavimento muy parecido de *opus tesellatum* es el del patio de la casa 1 de las excavaciones del *Decumanus Máximus* en Cartago del estrato VIII, datado en el periodo 250-146 a. C. (Niemeyer *et alii*, 2007: 56, figs. 78-79). Otro paralelo cercano es el pavimento del patio con funciones de *impluvium* de la casa 1 del



**Figura 7.** Corte 10, vivienda del sector 12. Vista final tras la campaña de 2018

**Figure 7.** Square 10, house of sector 12. Final view after the 2018 season

Îlot E en la colina de Byrsa de Cartago, barrio cuya construcción data del último tercio del siglo III a. C. (Lancel, 1982: 121-127, fig. 123, 148-149), si bien por el momento no es posible confirmar con seguridad la datación de la construcción de la vivienda uticense, pues los sondeos efectuados en los pequeños espacios libres en el patio aportaron apenas cerámica y ningún elemento diagnóstico. La disposición de un patio en las casas fenicias y cartaginesas es bastante común (Montanero, 2014); además de los casos ya mencionados de Cartago y Kerkuan, podemos citar los de las casas de Motya del siglo VI al IV a. C. (Famá, 2002: 41-43; 2009: 276, 282, fig. 5 y 6) o la *Casa del sacello domestico* de la segunda mitad del siglo V a. C. (Nigro, 2007: 43). También en Sicilia hay que reseñar la utilización sistemática del patio en las casas de la fase cartaginesa de Selinunte, fechada entre 375 y 250 a. C., donde está presente en los cuatro tipos definidos de casas (Helas, 2009).

Por lo que respecta al hogar u horno doméstico para la preparación de alimentos, podemos señalar como precedentes y ejemplos cercanos al ejemplar uticense el horno doméstico de adobes 12504 situado en una vivienda de la manzana B, en el sondeo PM del foro romano de Nora (Cerdeña), fechado entre finales del siglo VI y comienzos del V a. C. (Boneto, 2009: 95, lám. IV, fig. 73), así como

los hornos excavados en Motya en diferentes contextos, todos ellos con diámetros en torno a los 80-90 cm. Así, el hogar de la pequeña estancia 36, probablemente techada, del Edificio B de la Zona A (Toti, 2002: 62, fig. 68, cat. n° 1) fechado a fines del siglo VI a. C.; el hogar del ambiente 24 del mismo edificio, situado en un patio y fechado a comienzos del siglo IV a. C. (Toti, 2002: 62, fig. 69, cat. n° 2); el hogar de la estancia 23 del Edificio A o el de la estancia cerrada 25 del mismo edificio, cuya cronología se sitúa en la segunda mitad del siglo IV a. C. (Toti, 2002: 62, cat. n° 3, Famà, 2002: 41-48). Resulta interesante subrayar cómo algunos de los hornos de Motya se localizan en estancias de pequeñas dimensiones que serían probablemente cocinas, como el de Utica.

### 3.2. El *cardo* de la *insula* romana en los sectores 13 y 20

En la campaña de 2014 se localizó en el sector 13 del corte 10 la cloaca 10278 cubierta por un pavimento de tierra batida al oeste del muro 10064 (López Castro *et alii*, 2015). La cloaca tenía pendiente en dirección sureste-noroeste, buscando la evacuación de las aguas al antiguo estuario del río Bagradas, situado al norte. Estas construcciones indicaban la existencia

de una vía perpendicular al *decumanus* descubierto en 2012 al norte del muro 10110 en el corte 13 (López Castro *et alii*, 2014), delimitando así una *insula* formada por los muros 10010 y 10064 que se ha podido datar en siglo I d. C. (Ben Jerbania *et alii*, 2020). En la campaña de 2018 se ha ampliado el corte 10 hacia el oeste, extendiendo el sector 13 y abriendo un nuevo sector, el número 20, con el fin de delimitar el *cardo* por el oeste y buscar su unión con el *decumanus* (figura 6).

Tras el nivel superficial se localizaron varias fosas de expolio, bajo una de las cuales se descubrió el muro 10403, que delimita la calle por su extremo occidental con la misma orientación que el muro 10064, dando una anchura al *cardo* de 2,65 m. En la parte más septentrional del sector 20 y bajo el nivel superficial apareció una nueva estructura, el muro 10413, con una orientación este-oeste, haciendo esquina con el muro 10403 y como prolongación del muro 10010 (figura 6). La construcción de este muro en época tardorromana tenía por objeto condenar el *cardo* y aprovechar su espacio para disponer una estancia que debió estar revestida de estuco al interior, según nos indica su derrumbe bajo el suelo 10408, que debió pavimentar la estancia resultante de cerrar la calle. Otro indicio del cambio de uso de este espacio vendría indicado por el estucado de parte del muro 10403, en muy mal estado de conservación.

#### 4. Resultados de la excavación en el área oriental de la Zona I. La primera ocupación del área y nuevos datos del Templo B del siglo IV a. C.

##### 4.1. La primera ocupación del área de los templos

En el sector C del corte 16 (figura 1B) a 7 m al oeste del lado suroeste del Templo B y bajo el estrato superficial se disponía un estrato bastante compacto (UE 16010) que contenía algunos corales, restos de huesos y cenizas, así como cerámica del periodo arcaico: fragmentos de cerámica fenicia a torno, cerámica de engobe rojo y algunos fragmentos amorfos de cerámica a mano líbica. Entre este estrato 16010

y sobre la greda que conforma la base geológica, se descubrió parte de una estructura de planta cuadrangular formada por dos muros de piedras trabados con arcilla amarillenta y 50 cm de anchura: el muro 16011 con orientación este-oeste y el muro 16012 dispuesto en sentido norte-sur con el que forma el ángulo noreste de la estancia. El primero conserva sólo una hilada de piedras y una longitud de 1,95 m, mientras que el segundo mantiene dos hiladas de piedras y una longitud de 1,42 m (figuras 8 y 9A). El interior de la estructura estaba relleno por la UE 16014, formada por una concentración de corales que se disponían hasta el suelo geológico.

La estructura se ha conservado gracias a que queda fuera de la trayectoria de la fosa de expoliación 16004 que se abrió perpendicularmente al ángulo suroeste del Templo B. Dicha estructura puede fecharse por los materiales de la UE 16010 en la segunda mitad del siglo VII a. C., en consonancia con los datos estratigráficos obtenidos anteriormente, que situaban en este periodo la ocupación del área sobre la que se edificó el Templo A (López Castro *et alii*, 2016a; Ben Jerbania *et alii*, 2021), datación que se ve confirmada con los nuevos datos aportados en esta campaña.

El material cerámico diagnóstico (figura 10) está compuesto por un borde de plato de engobe rojo interior y labio ancho (figura 10: 16010/1) que pertenece al tipo Vegas 1.2 de Cartago datado en la segunda mitad del siglo VII a. C. (Vegas, 1999: 137-138, fig. 25:6), así como al tipo P2 de Peserico con una datación similar (Peserico, 2007: 275-276); un fragmento del cuerpo de un jarro de engobe rojo (figura 10: 16010/5) perteneciente probablemente a la forma 21 de Vegas, de jarros de boca de seta por la forma del cuerpo con tendencia esférica, que se fechaban en los siglos VIII y VII a. C. (Vegas, 1999: 156-157, fig. 53). Asimismo, se registró el fondo con pie indicado y plano de un cuenco con banda decorativa roja (figura 10: 16010/3), que podría encuadrarse en el tipo 3.3 de Vegas, cuencos con pintura a bandas, de los que los más antiguos en Cartago se conocen en los siglos VII y VI a. C. (Vegas, 1999: 142, fig. 31). Por último, pertenecen a este conjunto estratigráfico un fondo rehundido con pie marcado de una jarra (figura 10: 16010/2) y un fragmento de borde de lucerna fenicia sin decoración (figura 10: 16010/4).



**Figura 8.** Corte 11. Planta final de la campaña de 2018

**Figure 8.** Square 11. Final plan of the 2018 field season

#### 4.2. Nuevos datos del Templo B del siglo IV a. C.

Con el propósito de completar la planta del templo en su lado sureste, en el corte 11 se amplió la excavación de uno de los sectores meridionales, el sector D, donde se localizaba una habitación que formaba parte del Templo B del siglo IV a. C. (figuras 1B y 8). Delimitada por los muros 11003 y 11008, su cimentación es contemporánea a la construcción del templo. La excavación confirmó que esta habitación estuvo en uso hasta un momento avanzado del siglo II o comienzos del I a. C. por las cerámicas depositadas sobre el pavimento 11033.

Además, los trabajos de excavación se concentraron en el ángulo suroeste del Templo B donde se pudo completar efectuar la lectura del sistema de cimentación del templo fenicio-púnico del siglo IV a. C. en su lado meridional mediante una sección estratigráfica del perfil este de los cortes 11 sector F, 15 sector B y 16 sector B resultante de la excavación de la fosa de expolio 15004-16004 y su

relleno (figuras 2, 9B y C). La ampliación del sector B del corte 15 permitió comprobar cómo el basamento de uno de los pilares del pórtico suroccidental del Templo B denominado 15003 se asentaba sobre un relleno de piedras dispuesto entre el muro de cimentación de sillares 11176, descubierto en la campaña de 2017 (López Castro *et alii*, 2020a) que delimitaba el edificio del Templo B en el lado meridional y el recorte en el talud en el sustrato geológico sobre el que se apoyaba el edificio (figura 11).

El Templo B se cimentaba, pues, sobre una vasta y compleja plataforma de piedra en el límite de un escarpe en el lado noreste, que emplea bloques dispuestos a soga y tizón, alternando con mampuestos trabados con barro como técnica constructiva, según se pudo verificar en las campañas de 2016 y 2017 (López Castro *et alii*, 2020a, 2021). En el lado suroccidental se recortó la greda de la base geológica adosando el muro de sillares perimetral 11176 y relleno de piedras el espacio entre el recorte en el terreno y el muro perimetral, formando una estructura compacta (figuras 9B y 11).



**Figura 9.** A. Corte 16, sector C: vista de estructuras fenicias 16011 y 16012. B. Corte 15, sector B y corte 16 sector B: estructura de fundación del templo B tras la excavación de la fosa 15004. C. Corte 16, sector B: vista de la fosa de expolio 15004-16004

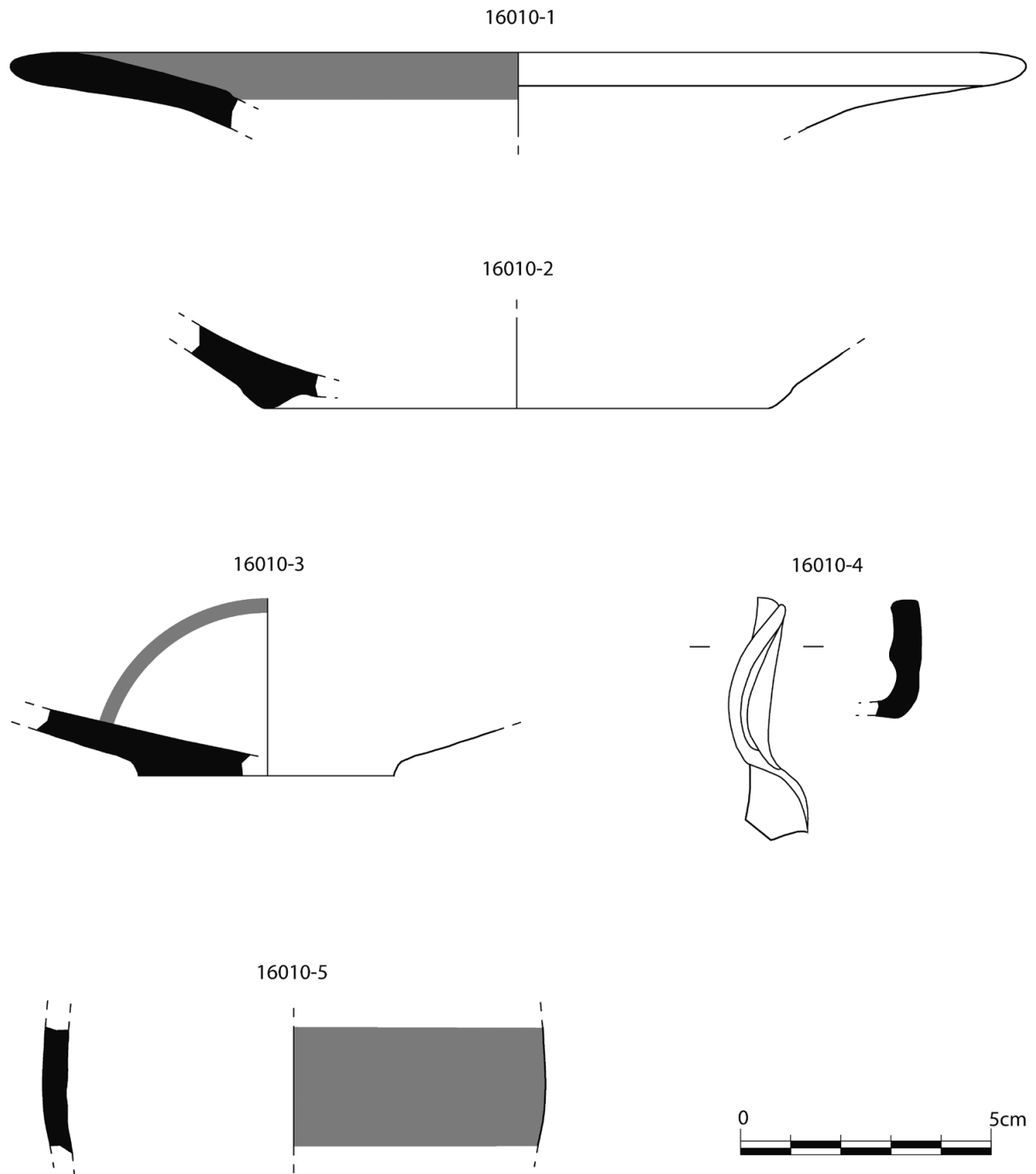
**Figure 9.** A. Square 16, sector C: view of Phoenician structures 16011 and 16012. B. Square 15, sector B and Square 16, sector B: foundation structure of temple B after the excavation of pit 15004. C. Square 6, sector B: view of spoliation pit 15004-16004

La técnica constructiva es la misma que la utilizada en el ángulo noroeste del templo, según puso en evidencia la excavación de 2017, cuando se descubrieron en el sector F del corte 11 bloques alargados iguales a los empleados en el lado nororiental de la plataforma, si bien situados en posición secundaria en el relleno de la fosa de cimentación de la cisterna romana 11160 sobre la que se efectuó posteriormente la fosa de expolio 15004-16004. Esta fosa rompió la plataforma de fundación por el lado occidental, así como el muro perimetral mencionado, afectando también al relleno de piedras que separaba el muro perimetral del recorte en el suelo geológico, el cual quedó al descubierto tras excavar el relleno de la mencionada fosa de expoliación 16005 (figuras 9B y 11). Casi en superficie y sobre la UE 16005 se descubrió un fragmento arquitectónico consistente en un sillar de gola sobre la que volveremos más adelante.

Finalmente, se procedió a la apertura del sector D del corte 16 para unir los sectores occidental y nororiental de la Zona I (figura 1B) y obtener una

lectura estratigráfica de la unión de dos áreas que estuvieron funcionando contemporáneamente: la del Templo B del siglo IV a. C. y el área urbana documentada en el corte 10. El resultado fue infructuoso al encontrar la base geológica de greda arcillosa amarillenta característica del yacimiento bajo la capa superficial.

Al norte del muro perimetral 11156 del Templo B se procedió a ampliar la excavación en el corte 18 (figura 1B) abriendo los sectores C y D con el fin de localizar nuevos elementos arquitectónicos decorativos caídos pertenecientes a dicho templo. En el sector C, aunque se identificaron algunos fragmentos de sillares, no aparecieron fragmentos arquitectónicos relevantes, mientras que en el sector D, bajo una serie de niveles alternantes de derrumbes y de rellenos de época romana tardía, rotos por fosas de expolio, se descubrió un derrumbe (UE 18050) compuesto por fragmentos de sillares, caídos a su vez sobre el derrumbe de una cisterna de época romana de grandes dimensiones, que se disponía en



**Figura 10.** Corte 16, sector C: cerámicas de la UE 16010

**Figure 10.** Square 16, sector C: ceramics from stratigraphic unit 16010



**Figura 11.** Sección estratigráfica norte del templo B: sector F del corte 11, sector B del corte 15, sector B del corte 16

**Figure 11.** Northern stratigraphic section of temple B: sector F of section 11, sector B of section 15, sector B of section 16

dirección noroeste-suroeste conservando el arranque de la bóveda. Entre los fragmentos constructivos del derrumbe 18050 se encontraba un semicapitel en arenisca con restos de estucado, representando un un prótomo femenino, que analizaremos a continuación (figura 12).

## 5. Elementos de decoración arquitectónica relacionados con los templos de la Zona I

### 5.1. La gola del corte 16

El sillar con moldura de gola presenta el nacel de cuarto de círculo (figura 13) y tiene unas medidas de 50 cm de altura desde la base, por una anchura total desde el borde del listel superior de 100 cm. La gola iría superpuesta al baquetón, al igual que otros remates de gola muy extendidos en el Norte de África (Lézine, 1960: 97-100; Prados, 2008: 217-219). De hecho, entre los materiales constructivos recuperados en la campaña de 2012 del expolio del área de los templos efectuado por una excavadora en 2004, se encuentra un elemento arquitectónico del Templo A que fue reutilizado en el *podium* del Templo B y que debió formar parte del entablamento del primero como baquetón. El sillar conserva en su parte superior sólo un trozo irregular de una moldura convexa o toro que por su tamaño, con una anchura de unos 15 cm, podría ser semicircular, marcando la línea de imposta inferior del remate en gola del edificio. En

la base de este bloque hay una inscripción grabada que muestra la letra *aleph*, que podría considerarse como una marca de construcción realizada por el cantero (López Castro *et alii*, 2016b: 273, lám. 3: UT12-120001-15). Este baquetón debería, pues, completarse con otro bloque superior con el nacel, como el fragmento hallado en esta campaña de 2018 de modo que el remate quedaría así dividido en dos piezas dispuestas en dos filas superpuestas, como sucede en otros ejemplos de gola uticenses que presentan el toro semioctogonal (Lezine, 1960: 97, n. 4, figs. 51-52; Ben Nejma, 2011: 190, fig. 14).

La gola es un elemento recurrente en la arquitectura fenicia y cartaginesa (Lezine, 1961: 97-100), conocida desde el siglo VIII a. C. y difundida en Occidente al menos desde el siglo VI a. C. (Prados, 2008: 218-219). El hallazgo de una gola, aunque superficial, en las proximidades del Templo B junto a la fosa de expolio 16004, de la que seguramente procede, podría ser un indicio de que fue reutilizada como piedra de construcción en la fundación del Templo B y que es probable que se emplease originalmente como gola en el Templo A, cuyo entablamento estaría entonces rematado con una gola en dos piezas si la hipótesis es correcta.

### 5.2. El semicapitel figurado del corte 18

Ya hemos mencionado cómo en esta campaña se descubrió, entre un derrumbe vecino al muro perimetral norte del Templo A que incluía fragmentos de bloques de piedra, un semicapitel con un prótomo



**Figura 12.** Corte 18, sector D: vista final de la excavación con derrumbe de elementos arquitectónicos

**Figure 12.** Square 18, sector D: final view of the excavation with collapse of architectural elements

antropomorfo (figuras 12 y 14). El semicapitel recuperado tiene la parte posterior aplanada, sin esculpir, para ser adosado a un pilar o a un muro y dispone un ábaco triangular con lados cuyas medidas son  $55 \times 40 \times 50$  cm, destinado a soportar el entablamento, que conserva un pequeño listel rematando la parte superior. El lado frontal donde se sitúa la representación figurada tiene unas dimensiones de 75 cm de longitud máxima y una altura máxima de 65 cm que excede la superficie del ábaco. Los motivos vegetales y la figura humana están bastante deteriorados, aunque es posible reconocerlos a grandes rasgos (figura 14).

El semicapitel no presenta collar en la base, de la cual arranca directamente la primera corona de hojas de acanto formada por tres de ellas. La situada más a la izquierda del capitel (derecha en la fotografía) está bastante destruida. Sobre la hoja dispuesta en el centro se encuentra un prótomo con cabeza femenina, ligeramente vuelta a su derecha, con una leve torsión del cuello en esa dirección. El cuello es bastante estilizado y esbelto, aunque se encuentra algo dañado. El rostro está perdido y conserva parte del cabello, aparentemente dispuesto en dos grandes mechones a uno y otro lado de las mejillas, aunque está mejor conservado en el lado derecho que en el

izquierdo, donde ha desaparecido la superficie externa del relieve (figura 14). La cabeza está enmarcada por dos fuertes líneas de relieve dispuestas a ambos lados de cabeza y cuello, que podrían formar parte de un velo que cubre a la figura, o bien, más probablemente, podrían ser los caulículos de una hoja de acanto central, de mayor tamaño, dentro de la cual se colocaría la figura femenina.

En el lado derecho del capitel se dispone el arranque de una voluta sobre una gran hoja de acanto que conserva la parte inferior y central de la misma, ocupando el ángulo. Por el contrario, en el lado izquierdo no quedan trazas de la voluta, ni de la gran hoja de acanto que debieron situarse simétricamente a las del otro lado. Todo el relieve debió estar revestido por una fina capa de estuco blanco, que se mantiene en los pliegues de las hojas de acanto y que permite observar la calidad de las nervaduras y lóbulos de las mismas (figura 14).

Este tipo de capiteles figurados se conocen en Utica en una casa del extremo occidental de la ínsula II, conocida como la *Maison des chapiteaux historiés*, fechada a finales del siglo II a. C. o en la primera mitad del I a. C. (Lézine, 1956: 19-22, 35, 37; Lézine, 1970: 43, 57). En el transcurso de las excavaciones en esta casa se encontraron cinco capiteles



**Figura 13.** Sillar de gola del corte 16, sector B

**Figure 13.** Gola ashlar from square 16, sector B

en mal estado de conservación, con los rostros de las figuras martilleados, aunque en algunos casos se pudieron reconocer las figuras representadas: un posible Apolo, una posible Minerva, un Eros y dos más, irreconocibles por su mal estado de conservación, que se consideraron de influencia siciliana. Los capiteles formaban parte de la planta baja de un pórtico interior que enmarcaba el patio central de la casa (Lézine, 1956: 19-22, 35, 37; Lézine, 1970: 43, 57).

Sin embargo, el estilo del semicapitel figurado del corte 18 es distinto a los de la casa uticense pues, en primer lugar, el tamaño del que nos ocupa es de unas dimensiones mayores que los conocidos en ese ambiente doméstico. En segundo lugar, su estilo parece obedecer más bien a patrones de época helenística, más en consonancia en principio con la datación del Templo B, junto al cual se ha descubierto en la campaña de 2018. Ejemplos más cercanos de semicapiteles con prótomo femenino se encuentran en el templo de Minerva de Canosa (Puglia, Italia), ciudad de la antigua Daunia, donde el programa decorativo de la primera fase del templo, datada a finales del siglo IV a. C. o comienzos del III emplea semicapiteles figurados sobre semicolumnas que representan divinidades femeninas con iconografías que remiten a diosas madre, como

Hera o Demeter y diosas como Afrodita, Artemis o Core (Pensabene, 1990: 283-285, 302-306, lám. CXV-CXVIII; Pensabene, 2012: 56-57).

En el templo de Canosa se han recuperado un total de 4 semicapiteles figurados y 13 fragmentos que se habrían utilizado, bien al interior de la *cella*, bien formando parte de semicolumnas insertas en las paredes de las alas del edificio (Pensabene, 1990: 283, 297-298, 302-306) o en el espacio interior del mismo que rodeaba la *cella* central, según la reconstrucción de D'Alessio (D'Alessio, 2012: 245-248). El origen de estos semicapiteles se sitúa en Tarento, que habría sido no solo el lugar de difusión de este tipo de capiteles figurados con un estilo propio, sino también un lugar de introducción precoz del orden corintio en Italia. Es en Tarento donde los capiteles figurados con divinidades o representaciones humanas de estilo corintizante se registran tempranamente en la escultura de ámbito funerario desde mediados del siglo IV o inicios del III a. C. en adelante, en un ambiente en el que las cerámicas apulas de figuras rojas y los vasos canosinos *a protomi* influenciados por la escultura y la pintura griegas del siglo IV a. C. desarrollaron este tipo de representaciones a partir de mediados del siglo IV a. C. en adelante (Pensabene, 1990: 284, 289-290; Pensabene, 2012: 43, 46-47, 53, figs. 12-13).



**Figura 14.** Semicapitel figurado del corte 18, sector D

**Figure 14.** Figured semi-capital from square 18, sector D

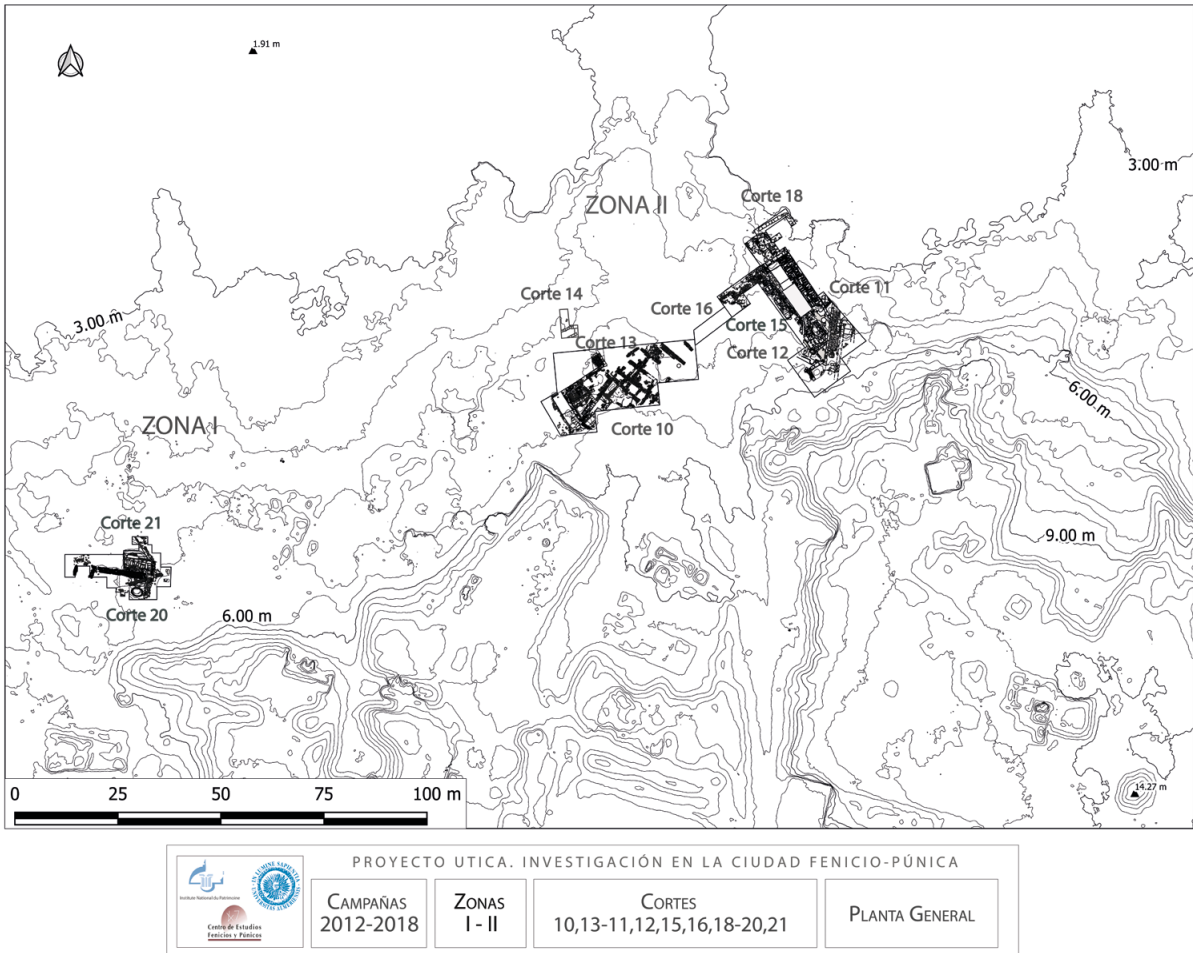
En el semicapitel figurado de Utica es posible encontrar, a pesar de su mal estado de conservación alguno de los rasgos de los semicapiteles de Canosa: el más evidente es la ligera torsión del cuello respecto al rostro de la divinidad representada (Pensabene 2012: 53), ya que no conserva el rostro, boca u ojos que hicieran posible profundizar en el análisis de los rasgos estilísticos. La adopción de estos modelos tarentinos se ha propuesto también para un capitel figurado de Selinunte, fechado en el siglo IV a. C. (Tusa, 1954: 261-263, fig. 1-4; Pensabene 1992: 282 y n. 98), ciudad que fue repoblada por Cartago entre 375 y 250 a. C., como veíamos anteriormente.

En definitiva, entraría pues, dentro de lo posible que el semicapitel figurado uticense formase parte del programa decorativo del Templo B, al igual que el fragmento de entablamento y el fragmento de tambor de columna recuperados en la campaña de 2017 en el corte 18 (López Castro *et alii*, 2020a), hallados junto al área donde se ha descubierto el capitel figurado y a escasos metros del lado norte del Templo B, que sería seguramente la fachada. La confirmación

de esta hipótesis y la articulación del posible programa decorativo a partir de los datos de que disponemos serán objeto de un estudio exhaustivo, en el que no podemos descartar modificaciones a lo largo de la larga vida del edificio hasta su destrucción en época imperial (López Castro *et alii*, 2016a; Ferrer *et alii*, 2020; Ben Jerbania *et alii*, 2021).

## 6. Conclusiones

La campaña de 2018 (figura 15) ha confirmado el interés y la antigüedad del edificio fenicio del corte 21 en la Zona II y ha aportado datos para proponer hipótesis e identificar la posible funcionalidad del mismo, gracias al estudio de su planta y a la documentación en su interior de una estructura de adobe cuya forma nos recuerda como hipótesis, a los altares en forma de piel de buey conocidos en los templos fenicios coetáneos del sur de la península ibérica de La Rebanadilla o El Carambolo. El edificio fenicio de Utica podría interpretarse por sus características tipológicas como un posible templo fenicio de



**Figura 15.** Planta general de la excavación de 2018  
**Figure 15.** General plan of the 2018 excavation at Utica

tradición cananea, hipótesis que se ve reforzado por la alta cronología del mismo, que se remonta al menos al siglo IX AC.

Se trataría, pues, del único posible templo de esta tipología y cronología en el Norte de África y en el Occidente fenicio conocido hasta el momento. El edificio está emparentado con los templos fenicios de Kition y otros del Levante como Tell Kazel, que guardan una misma proporción, algo inferior a la 2:1 en sus dimensiones y presentan una división bipartita del interior, con puerta lateral y orientación este-oeste. La finalización de la excavación del edificio uticense y su estudio final permitirán verificar las propuestas planteadas, del mismo modo que el estudio exhaustivo de los materiales asociados al edificio y la obtención de nuevas dataciones absolutas confirmará la cronología fundacional del edificio y su periodo de uso.

En el área occidental de la Zona I, los trabajos en el corte 10 han dejado visible el *cardo* romano imperial y se ha finalizado la excavación del sector 12, aportando información relevante sobre la arquitectura doméstica uticense en el periodo fenicio-púnico. Un dato interesante ha sido la localización en el sector C del corte 16 de una estructura a la que se asocian cerámicas del siglo VII a. C. en las inmediaciones del espacio ocupado por los templos. La estructura fue construida sobre la base geológica y no es posterior a la construcción del Templo A, lo que induce a confirmar su fecha de construcción durante la segunda mitad del siglo VII a. C., documentada estratigráficamente con anterioridad. Los trabajos efectuados en los cortes 15 y 16 han permitido también conocer mejor el sistema constructivo del Templo B del siglo IV a. C., en particular las técnicas empleadas en la fundación del edificio, así

como recuperar un elemento de decoración arquitectónica como una gola en piedra arenisca que podría haber pertenecido al Templo A y tal vez fuera reutilizada en la fundación del Templo B, como el baquetón recuperado en una campaña anterior. Es destacable el descubrimiento en el corte 18 de un semicapitel figurado, formando parte de un derrumbe, en las proximidades de otros elementos de decoración arquitectónica inmediatos a la fachada norte del templo, lo que podría estar indicando su vinculación al programa decorativo del Templo B.

## Bibliografía

- Almagro-Gorbea, M. (2021): "Pozo Moro. El monumento orientalizante, su contexto socio-cultural y sus paralelos en la arquitectura funeraria ibérica". *Madridier Mitteilungen*, 24: 177-293.
- Arancibia Román, A. y Escalante Aguilar, M.M. (2006): "La Málaga fenicio-púnica a la luz de los últimos hallazgos". *Mainake*, 28: 333-360.
- Arancibia Román, A. y Mora Serrano, B. (2018): "Malaka before the Polis: A colonial emporium of the 7<sup>th</sup> century BC inheritor of the archaic Phoenician settlement on the Guadalhorce river mouth". En M. Botto (ed.): *De Huelva a Malaka. Los fenicios en Andalucía a la luz de los descubrimientos más recientes*. Collezione di Studi Fenici, 48. Consiglio Nazionale delle Ricerche. Roma: 351-369.
- Badre, L. (2006): "Tell Kazel-Simyra: A Contribution to a relative Chronological History in the Eastern Mediterranean during the Late Bronze Age". *Bulletin of American Schools of Oriental Research*, 343: 69-95.
- Badre, L., y Gubel, E. (1999-2000): "Tell Kazel, Syria: Excavations of the AUB Museum, 1993-1998. Third Preliminary Report". *Berytus*, 44: 123-203.
- Ben Jerbania, I., López Castro, J.L., Sánchez Moreno, A., Ferjaoui, A., Fumadó, I., Mora, B., Ruiz Cabrero, L.A. y Abidi, F. (2020): "El área urbana fenicio-púnica del sector Norte de Utica". En S. Celestino y E. Rodríguez (eds.): *A Journey between East and West in the Mediterranean. IX International Congress of Phoenician and Punic Studies* (Mérida, 2018). I. Consejo Superior de Investigaciones Científicas. Mérida: 369-380.
- Ben Jerbania, I., López Castro, J.L., Ferjaoui, A., Ferrer, E., Pardo, C.A., Peña, V., Jendoubi, K. y Khalfalli, W. (2021): "Architecture Phénico-punique dans le secteur des temples à Utique". En L. Ben Abid, F. Prados y M. Grira (eds.): *De Carthage à Carthagène. Bâtir en Afrique et en Ibérie durant l'Antiquité* (Tunis-Dougga, 2019). Universidad de Alicante. Alicante: 61-90. <<https://repositorio.ual.es/handle/10835/10710>>.
- Ben Nejma, M. (2011): "Le décor architectonique d'Utique à l'époque punique". *La Carthage punique. Diffusion et permanence de sa culture en Afrique antique. Actes du 1<sup>er</sup> Séminaire, Tunis 28 décembre 2008*. Institut National du Patrimoine. Tunis: 185-201.
- Bikai, P.M. (2003): "Statistical observations on the Phoenician pottery of Kition". En V. Karageorghis (ed.): *Kition VI, II: The Phoenician and Later Levels*. Department of Antiquities. Cyprus. Nicosia: 231-257.
- Boneto, J. (2009): "L'insediamento di età fenicia, punica e romana repubblicana nell'area del foro". En J. Boneto, A.R. Ghiotto y M.J. Novello: *Nora. Il foro romano. Storia di un'area urbana dall'età fenicia alla tarda antichità 1997-2006*. J. Boneto (ed.): Volume I-Lo scavo. Università degli Studi di Padova. Padova: 39-243.
- Caubet, A., Fourrier, S. y Yon, M. (2015): *Kition-Bamboula VI. Le sanctuaire sous la colline*. Maison de l'Orient et de la Méditerranée-Jean Pouilloux. Lyon. <[www.persee.fr/issue/mom\\_2259-4884\\_2015\\_rpm\\_67\\_1](http://www.persee.fr/issue/mom_2259-4884_2015_rpm_67_1)>.
- Celestino Pérez, S. (1994): "Los altares en forma de 'lingote chipriota' de los santuarios de Cancho Roano". *Revista de Estudios Ibéricos*, 1: 291-310.
- Celestino Pérez, S. (2001): "Los santuarios de Cancho Roano. Del indigenismo al orientalismo arquitectónico". En D. Ruiz Mata y S. Celestino (eds.): *Arquitectura oriental y orientalizante en la Península Ibérica*. Consejo Superior de Investigaciones Científicas. Madrid: 17-56.
- D'Alessio, A. (2019): "Architettura sacra in Daunia tra tarda repubblica e primo impero. Il tempio in località San Leucio a Canosa". *Archeologia Classica*, LXX: 225-255.

- Delile, H., Abichou, A., Gadhoun, A., Goiran, J.-P., Pleuger, E., Monchambert, J.-Y., Wilson, A., Fentress, E., Quinn, J., Ben Jerbania, I. y Ghazzi, F. (2015): "The geoarchaeology of Utica (Tunisia): the palaeo-geography of the Mejerda delta and hypotheses concerning the location of the ancient harbour". *Geoarchaeology*, 30: 291-306. <<https://doi.org/10.1002/gea.21514>>.
- Edrey, Meir (2018): "Towards a Definition of the pre-Classical Phoenician Temple". *Palestine Exploration Quarterly* 150 (3): 184-205.
- Escacena Carrasco, J.L. (2001): "Fenicios a las puertas de Tartessos". *Complutum*, 12: 73-96. <<https://dx.doi.org/10.5209/CMPL>>.
- Escacena Carrasco, J.L. (2007): "El dios que rescita: claves de un mito en su primer viaje a Occidente". En J.J. Justel, J.P. Vita y J.Á. Zamora (eds.): *Las culturas del Próximo Oriente Antiguo y su expansión mediterránea*. Consejo Superior de Investigaciones Científicas. Zaragoza: 615-651.
- Famá, M.L. (2002): "Gli edifici A e B: fasi e cronologie". En M.L. Famà (ed.): *Mozia: gli scavi nella «Zona A» dell'abitato*. Edipuglia. Bari: 41-50.
- Fantar, M. A. (1984): *Kerkouane. Cité punique du cap Bon (Tunisie)*. Tome I. *Architecture domestique*. Institut National d'Art et d'Archeologie. Tunis.
- Fernández Flores, A. y Rodríguez Azogue, A. (2005): "El complejo monumental del Carambolo Alto, Camas (Sevilla). Un santuario orientalizante en la paleodesembocadura del Guadalquivir". *Trabajos de Prehistoria*, 62 (1): 111-138.
- Fernández Flores, A. y Rodríguez Azogue, A. (2007): *Tartessos desvelado. La colonización fenicia del suroeste peninsular y el origen y ocaso de Tartessos*. Almuzara. Córdoba.
- Fernández Flores, A., Casado, M. y Prados, E. (2020): "Primeros vestigios de la colonización fenicia en El Carambolo. El edificio inicial (Carambolo V)". En J. L. López Castro (ed.): *Entre Utica y Gadir: navegación y colonización fenicia en el Mediterráneo Occidental a comienzos del I milenio*. Comares. Granada: 201-228.
- Ferrer, E., López Castro, J.L., Ben Jerbania, I., Pardo, C.A., Ferjaoui, A., Peña Romo, V. y Khalfali, W. (2020): "Los templos fenicio-púnicos del Sector Norte de Útica". En S. Celestino y E. Rodríguez González (eds.): *Un viaje entre el Oriente y el Occidente del Mediterráneo. IX Congreso Internacional de Estudios Fenicios y Púnicos* (Mérida, 2018). III. Consejo Superior de Investigaciones Científicas. Mérida: 393-405.
- Gener, J.M<sup>a</sup>., Navarro, M<sup>a</sup>.Á., Pajuelo, J.M. y Torres, M. (2014): "Arquitectura y urbanismo de la Gadir fenicia: el yacimiento del 'Teatro Cómico' de Cádiz". En M. Botto (ed.): *Los fenicios en la bahía de Cádiz. Nuevas investigaciones*. Collezione di Studi Fenici, 48. Roma: Consiglio Nazionale delle Ricerche: 14-50.
- Gómez Peña, A. (2010): "Así en Oriente como en Occidente: el origen oriental de los altares taurodérmicos de la Península Ibérica". *SPAL*, 19: 129-148.
- Gonzalez de Canales Cerisola, F., Serrano, L. y Llompert Gómez, J. (2004): *El emporio fenicio precolonial de Huelva (ca. 900-770 a.C.)*. Biblioteca Nueva. Madrid.
- Helas, S. (2009): "Selinunt. Die punischer Häuser". En S. Helas y D. Marzoli (eds.): *Phönizisches und punisches Städtewesen*. Philipp von Zabern, Mainz: 289-306.
- Lancel, S. (dir.) (1982): *Byrsa II. Rapports préliminaires sur les fouilles 1977-1978: niveaux et vestiges puniques*. École Française a Carthage, Tunis, Institut National D'Archéologie et D'Art. Rome.
- Lezine, A. (1956): "La maison des chapiteux historiés á Utique". *Karthago*, VII: 1-53.
- Lezine, A. (1960): *Architecture punique. Recueil de documents*. Presses universitaires de France. Tunis.
- Lezine, A. (1970): *Utique*. Société tunisienne de diffusion. Tunis.
- Karageorghis, V. (1976): *Kition: Mycenaean and Phoenician discoveries in Cyprus*. Thames and Hudson. London.
- Lagarce, J. y Lagarce, E. (1997): "Les lingots en peau de boeuf, objets de commerce et symboles idéologiques dans le monde méditerranéen". *Revue des Études Phénicio-Puniques et des Antiquités Libyques*, 10: 33-97.

- López Castro, J.L., Ferjaoui, A., Peña, J.A., Teixidó, T., Ghazouami, M., Adroher, A. y Ben Nejma, M. (2012): "Proyecto Utica. Informe de los trabajos arqueológicos efectuados en la ciudad fenicio-púnica de Utica (Túnez). Campaña de 2010". *Informes y trabajos*, 7: 360-371.
- López Castro, J.L., Ferjaoui, A., Adroher, A., Arbi, F., Ben Jerbania, I., Dridi, F., Essaadi, F., Ferrer, E., Fumadó, I., Martínez Hahn Müller, V., Mederos, A., Pardo, C.A., Peña, V. y Sánchez Moreno, A. (2014): "Proyecto Útica. Investigación en la ciudad fenicio-púnica". *Informes y trabajos*, 11: 201-219.
- López Castro, J.L., Ferjaoui, A., Ben Jerbania, I., Jendoubi, K., Ferrer Albelda, E., Fumadó, I., Martínez Hahn Müller, V., Pardo, C.A., Sánchez Moreno, A., Fumadó, I., Mederos, A., Carpintero, S., Dhibi, C., Maldonado, G., Mora, B., Niveau, A., Peña, V., Souissi, I., Khalfalli, W., Dridi, F., Essaadi, F. y Ruiz Cabrero, L. (2015): "Proyecto Utica. Excavaciones en la ciudad fenicio-púnica. Campañas de 2013 y 2014". *Informes y trabajos*, 12: 259-280.
- López Castro, J.L., Ferjaoui, A., Ben Jerbania, I., Martínez Hahn Müller, V., Pardo, C.A., Sánchez Moreno, A., Jendoubi, K., Mokrani, Y., Niveau, A., Ferrer, E., Mederos, A., Saidi, R., Abidi, F., Dhibi, C., Khalfalli, W., Mora, B., Peña, V. y Ruiz Cabrero, L. (2016a): "Proyecto Utica. Excavaciones en la ciudad fenicio-púnica. Campaña de 2015". *Informes y trabajos*, 14: 116-130.
- López Castro, J.L., Ferjaoui, A., Ferrer, A., Pardo, C.A., Ben Jerbania, I. y Peña, V. (2016b): "Edificios monumentales fenicio-púnicos en Utica". *Aula Orientalis. Revista de Estudios del próximo Oriente Antiguo*, 34 (2): 265-292.
- López Castro, J.L., Ferjaoui, A., Mederos, A., Martínez Hahn Müller, V. y Ben Jerbania, I. (2016c): "La colonización fenicia inicial en el Mediterráneo Central. Nuevas excavaciones arqueológicas en Utica (Túnez)". *Trabajos de Prehistoria*, 73 (1): 68-89. <<https://doi.org/10.3989/tp.2016.12164>>.
- López Castro, J.L., Ben Jerbania, I., Sánchez Moreno, A., Abidi, H., Abidi, F., Jendoubi, K., Ben Alí, R., Carpintero, S., Ferrer, E., Madahi, N., Mederos, A., Mora, B., Peña, V., Ruiz Cabrero, L.A. y Khalfalli, W. (2020a): "Excavaciones en la ciudad Fenicio-Púnica de Utica (Túnez). La campaña de 2017". *Aula Orientalis. Revista de Estudios del próximo Oriente Antiguo*, 38 (2): 303-333.
- López Castro, J.L., Ben Jerbania, I., Mederos, A., Ferjaoui, A., Martínez Hahn Müller, V. y Jendoubi, K. (2020b): "La primera ocupación fenicia de Utica". En S. Celestino y E. Rodríguez González (eds.): *Un viaje entre el Oriente y el Occidente del Mediterráneo. IX Congreso Internacional de Estudios Fenicios y Púnicos (Mérida, 2018)*, III, Consejo Superior de Investigaciones Científicas. Mérida: 1315-1326.
- López Castro, J.L., Ferjaoui, A., Mederos, A., Martínez Hahn Müller, V. y Ben Jerbania, I. (2020c): "Nouvelles recherches sur la période archaïque d'Utique". En J.L. López Castro (ed.): *Entre Utica y Gadir. Navegación y colonización fenicia en el Mediterráneo Occidental a comienzos del I milenio AC*. Editorial Comares. Granada: 55-80.
- López Castro, J.L., Ben Jerbania, I., Mederos Martín, A., Abidi, F., Jendoubi, K., Khalfalli, W., Mora Serrano, B., Niveau de Villedary, A., Ruiz Cabrero, L. A., Sánchez Moreno, A., Torchani, M. (2021): "Proyecto Utica (Túnez). Excavaciones en la ciudad fenicio-púnica. resultados de la campaña de 2016". *Cuadernos de Prehistoria y Arqueología de la Universidad Autónoma de Madrid*, 47 (1): 83-126. <<http://dx.doi.org/10.15366/cupauam2021.47.1.004>>.
- López Castro, J.L., Ben Jerbania, I., Abidi, F., Carpintero Lozano, S., Gil Orduña, E., Jacinto González, J., Jendoubi, K., Mederos Martín, A., Mora Serrano, B., Moya Cobos, L. y Ruiz Cabrero, L. A. (2023): "Proyecto Utica. Investigación en la ciudad fenicio-púnica. Resultados preliminares de las campañas de 2019 y 2022". *Informes y Memorias* 21: 95-110.
- López Castro, J.L., Ben Jerbania, I., Mederos Martín, A., Martínez Hahn Müller, V. y Ferjaoui, A. (e.p.): "Un posible altar con forma de piel de toro en edificio fenicio del siglo IX A.C. en Utica (Túnez)". En F. Núñez, A. Mederos, J. Suárez, B. Mora y E. Martín Córdoba (eds.): *Entre Málaga y Tiro. Una travesía mediterránea en memoria de la profesora María Eugenia Aubert Semmler*. Anejos de la Revista Mainake, 4. Universidad de Málaga. Málaga: 451-466.

- Marín-Buzón, C., Pérez-Romero, A., López-Castro, J.L., Ben Jerbania, I. y Manzano-Agugliaro, F., “Photogrammetry as a New Scientific Tool in Archaeology: Worldwide Research Trends”. *Sustainability* 2021, 13: 5319. <<https://doi.org/10.3390/su13095319>>.
- Montanero Vico, D. (2014): “Arquitectura doméstica fenicio-púnica en Sicilia y Cerdeña (ss. VIII-III a. C.)”. En B. Costa y J.H. Fernández (eds.): *Arquitectura urbana y espacio doméstico en las sociedades fenicio-púnicas*. (XXVIII Jornadas de Arqueología Fenicio-Púnica. Eivissa, 2013). Conselleria d'Educació, Cultura i Universitats, Museu Arqueològic d'Eivissa i Formentera. Eivissa: 41-110.
- Niemeyer, H.G., Docter, R.F., Schmidt, K. y Bechtold, B. (2007): *Karthago. Die Ergebnisse der Hamburger Grabung unter dem Decumanus Maximus*. Teilband I: *Grabungs- und Baubefund, Häuser und Straßen, die Funde I. Beilagen*. Philipp von Zabern. Mainz.
- Nigro, L. (ed.) (2005): *Mozia - XI. Il Tempio del Kothon. Rapporto preliminare delle campagne di scavo XXIII e XXIV (2003-2004)*. Quaderni di Archeologia fenicio-punica, II. Università di Roma La Sapienza. Roma.
- Nigro, L. (ed.) (2007): *Mozia - XII. Zona D. La Casa del sacello domestico, il Basamento meridionale e il Sondaggio stratigrafico I. Rapporto preliminare delle campagne di scavi XIII e XIV (2003-2004)*. Quaderni di Archeologia Fenicio-Punica, III. Università di Roma La Sapienza. Roma.
- Nigro, L. (2009): “Il tempio del Kothon e il ruolo delle aree sacre nello sviluppo urbano di Mozia dall'VIII al IV sec. a.C.”. En S. Helas y D. Marzoli (ed.): *Phönizisches und punisches Städtewesen. Akten der internationalen Tagung in Rom vom 21. bis 23. Februar 2007*. Philipp von Zabern. Mainz: 241-270.
- Nigro, L. (2010): “Alle origini di Mozia. Stratigrafia e ceramica del Tempio del Kothon dall'VIII al VI sec. a.C.”. En L. Nigro (ed.): *Motyá and the Phoenician Repertoire between the Levant and the West, 9<sup>th</sup>-6<sup>th</sup> Century BC*. (Proceedings of the International Conference Held in Rome, 26<sup>th</sup> February 2010). Quaderni di Archeologia Fenicio-Punica, 5. Università di Roma La Sapienza. Roma: 1-48.
- Nigro, L. (2018): “La Sapienza a Mozia 2010-2016. Il primo insediamento fenicio, l'area sacra di Baal e Astarte, il Tofet, la Necropoli, l'Abitato, i nuovi scavi alle Mura – una sintesi”. En M. Guirguis (ed.): *From the Mediterranean to the Atlantic. People, Goods And Ideas between East and West. (Proceedings of the 8<sup>th</sup> International Congress of Phoenician and Punic Studies, Italy, Sardinia, Carbonia, Sant'Antioco, 21<sup>th</sup>-26<sup>th</sup> October 2013)*. Vol. II. *Folia Phoenicia*, 2: 253-277.
- Nijboer, A. J. y van der Plicht, J. (2006): “An interpretation of the radiocarbon determinations of the oldest indigenous-Phoenician stratum thus far, excavated at Huelva, Tartessos (south-west Spain)”. *Bulletin des Antieke Beschaving*, 81: 31-36.
- Paskoff, R. y Troussset, P. (1992): “L'ancienne baie d'Utique. Du témoignage des textes à celui des images satellitaires”. *Mappe Monde*, 25 (1): 30-34.
- Pensabene, P. (1990): “Il tempio ellenistico di S. Leucio a Canosa”. En M. Tagliente (ed.): *Italici in Magna Grecia. Lingua, insediamenti, strutture*. Edizioni Osana. Venosa: 269-337.
- Pensabene, P. (2012): “Da Minerva a San Leucio: problematiche storiche e architettoniche alla luce dei recenti scavi”. *Scienze dell'Antichità*, 18: 35-62.
- Peserico, A. (2007): “Die Phönizisch-punische Feinkeramikarchaischer Zeit. I. Offene Formen”. En Niemeyer, H.G., Docter, R.F., Schmidt, K. y Bechtold, B.: *Karthago. Die Ergebnisse der Hamburger Grabung unter dem Decumanus Maximus*. Teil-Band II. Mainz: 271-305.
- Pleuger, E., Goiran, J.PH., Mazzini, I., Delile, H., Abichou, A., Gadhoul, A., Djerbi, H., Piotrowska, N., Wilson, A., Fentress, E., Ben Jerbania, I. y Fagel, N. (2019): “Palaeogeographical and palaeoenvironmental reconstruction of the Medjerda delta (Tunisia) during the Holocene”. *Quaternary Science Reviews*, 220: 263-278. <<https://doi.org/10.1016/j.quascirev.2019.07.017>>.
- Prados Martínez, F. (2008): *Arquitectura púnica. Los monumentos funerarios*. Anejos de Archivo Español de Arqueología, XLIV. Consejo Superior de Investigaciones Científicas. Madrid.
- Rakob, F. (1999): “Cartago. La topografía de la ciudad púnica. Nuevas investigaciones”. *Cuadernos de Arqueología Mediterránea*, 4: 15-46.

- Ramon Torres, J. y Marauí Telmini, B. (2011): "Les sondages dans la Zone 2". En N. Kallala y J. Sanmartí (dirs.): *Althiburos I. la fouille dans l'aire du capitole et dans la nécropole méridionale*. Institut Català d'Arqueologia Clàssica-Institute National du Patrimoine. Tarragona: 153-393.
- Reimer, P., Austin, W.E.N., Bard, E., Bayliss, A., Blackwell, P.G., Bronk Ramsey, C., B., M., Edwards, R.L., Friedrich, M., Grootes, P.M., Guilderson, T.P., Hajda, I., Heaton, T.J., Hogg, A., Kromer, B., Manning, S.W., Muscheler, R., Palmer, J.G., Pearson, C., van der Plicht, J., Reim Richards, D.A., Scott, E.M., Southon, J.R., Turney, C.S.M., Wacker, L., Adolphi, F., Büntgen, U., Fahrni, S., Fogtmann-Schulz, A., Friedrich, R., Köhler, P., Kudsk, S., Miyake, F., Olsen, J., Sakamoto, M., Sookdeo, A. y Talamo, S. (2020): "IntCal20 Northern Hemisphere radiocarbon age calibration curve (0-55 cal kBP)". *Radiocarbon*, 62: 1-33. <<https://doi.org/10.1017/RDC.2020.41>>.
- Riis, P.J. (1970): *Sukas I: The North-East Sanctuary and the First Setting of Greeks in Syria and Palestine*. Publications of the Carlsberg Expedition to Phoenicia, 1. Munksgaard. Copenhagen.
- Sánchez Sánchez-Moreno, V.M. (2021): "Cómo diseñar edificios sagrados a comienzos del primer milenio a. C. en la península ibérica el uso del triángulo 3/4/5 y de los triángulos isósceles por los arquitectos/maestros de obra fenicios en La Rebanadilla, Málaga". *Cuadernos de Prehistoria y Arqueología de la Universidad Autónoma de Madrid*, 47 (1): 51-82. <<https://doi.org/10.15366/cupauam2021.47.1.003>>.
- Sánchez Sánchez-Moreno; V.M., Galindo San José, L., Juzgado Navarro, M., y Dumas Peñuelas, M. (2012): "El asentamiento fenicio de La Rebanadilla a finales del siglo IX A.C.". En E. García Alfonso (ed.): *Diez años de Arqueología Fenicia en la provincia de Málaga (2001-2010)*. *María del Mar Escalante Aguilar in memoriam*. Junta de Andalucía. Málaga: 67-85.
- Sánchez Sánchez-Moreno, V.M., Galindo San José, L., Juzgado Navarro, M. y Belmonte Marín, J.A. (2018): "La Rebanadilla, santuario litoral fenicio en el Sur de la Península Ibérica". En M. Botto (ed.): *De Huelva a Malaka. Los fenicios en Andalucía a la luz de los descubrimientos más recientes*. Collezione di Studi Fenici, 48. Consiglio Nazionale delle Ricerche. Roma: 305-323.
- Sánchez Sánchez-Moreno, V.M., Galindo San José, L. y Juzgado Navarro, M. (2020): "El santuario fenicio de La Rebanadilla". En J.L. López castro (ed.): *Entre Utica y Gadir. Navegación y colonización fenicia en el Mediterráneo Occidental a comienzos del I milenio AC*. Editorial Comares. Granada: 189-199.
- Schaeffer, C.F.A. (1971): "Les Peuples de la Mer et leurs sanctuaires à Enkomi-Alasia aux XII<sup>e</sup>-XI<sup>e</sup> s. av.n.è". En C.F.A. Schaeffer (ed.): *Alasia I*. Tomo IV. Mission archéologique d'Alasia. Paris: 505-573.
- Toti, M.P. (2002): "Focolari e forni". En M.L. Famá (ed.): *Mozia. Gli scavi nella "Zona A" dell'abitato*. Edipuglia. Bari: 61-63.
- Tusa, V. (1954): "Capitello figurato ellenistico da Selinunte". *Bolletino d'Arte*, 39: 261-264.
- Vegas, M. (1999): "Phöniko-punische Keramik aus Karthago". En Rakob, F. (ed.): *Karthago III. Die Deutsche Ausgrabungen in Karthago*. Philipp von Zabern. Mainz: 93-219.
- Verdan, S., Kenzelmann Pfyffer, A. y Léderrey, C. (2008): *Céramique géométrique d'Érétrie. Eretria XX. Fouilles et recherches*. École suisse d'archéologie en Grèce. Athènes.